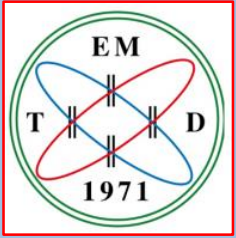
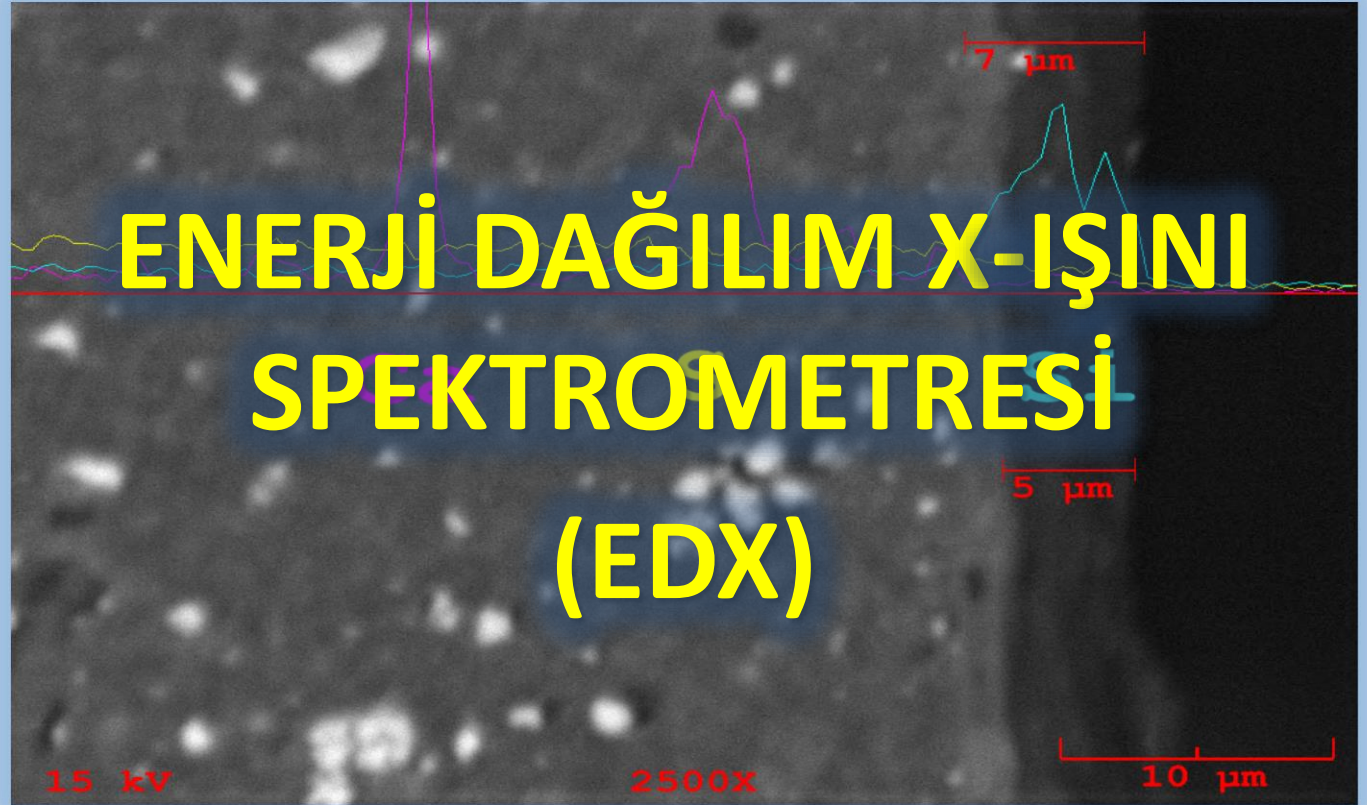


22. ULUSAL ELEKTRON MİKROSKOPİ KONGRESİ
EMK 2015 ÇALIŞTAY 01 EYLÜL 2015



Sabancı
Üniversitesi

SU|NUM



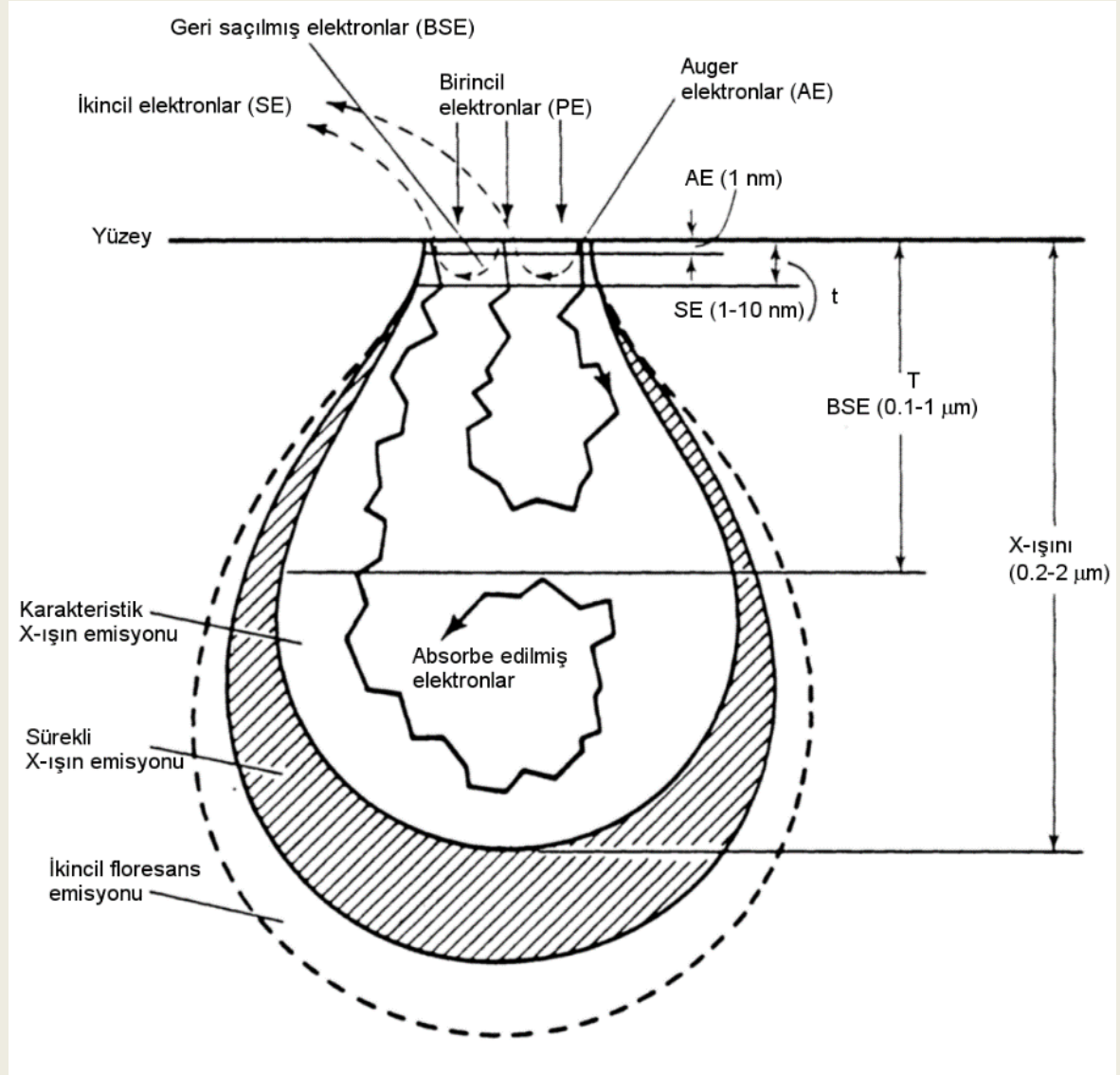
Attila Alkan

Kocaeli Üniversitesi, Metalurji ve Malzeme Mühendisliği, Kocaeli

ELEKTRON DEMETİ – NUMUNE ETKİLEŞİMİ

Elektron tabancasından çıkan elektron demeti (birincil elektronlar) numuneye ulaştığında numune atomlarının elektrostatik alanları ile etkileşir ve bu atomların yörüngelerindeki elektronlarla çarpışır.

İkincil elektronlar (**SE**),
enerjileri düşük olduğu için
numune yüzeyine yakın
yerlerden ve geri saçılan
elektronlar da (**BSE**)
enerjileri yüksek
olduğundan daha derinden
çıkarmaz.



X-IŞINI ÜRETİMİ

KARAKTERİSTİK X-IŞINI YAYIMI

İç yörüngedeki elektronlarla birincil elektronların çarpışması sonucunda, bu yörüngedeki elektronlar yerlerinden sökülebilirler. Bu şekilde iç yörüngede meydana gelen boşluklar, dış yörüngelerdeki elektronlar tarafından doldurulduğunda ise iki konum arasındaki fark ***X-ışını*** olarak yayımlanır. Yörüngeler arası enerji farkı sabit olduğu için ve yörüngeler arasında yüksek olasılıklı transferler de kısıtlı olduğundan, yayımlanan X-ışınlarının büyük bir kısmı belirli enerjilerde ortaya çıkar. Bunlara **karakteristik X-ışınları** adı verilir.

SÜREKLİ X-IŞINI YAYIMI (FRENLEME IŞINIMI, BREMSSTRAHLUNG)

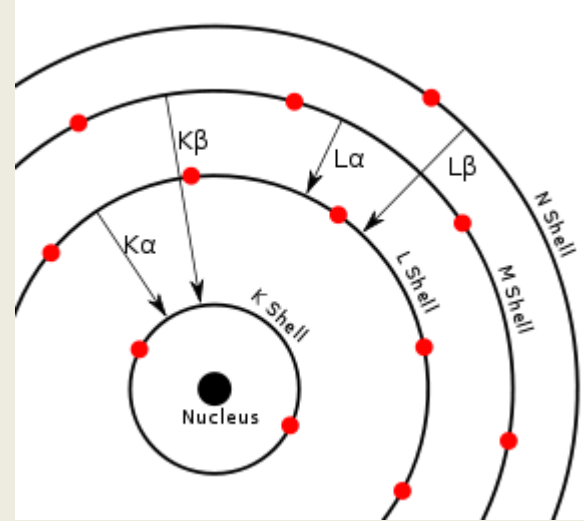
Birincil elektronlar madde içi atom çekirdeklerinde yönlerinden saptırılarak kısmen frenlenir ve soğurulurlar. Kaybedilen enerji, ısı ve X-ışını kuantı olarak açığa çıkar. Frenlenme, miktar olarak değişik olduğu için elde edilen X-ışın enerji spektrumu da sürekli dir. **Sürekli X-ışınım kantitatif EDX analizinin alt belirleme sınırını negatif etkiler.**

İKİNCİL FLORESANS X-IŞINI YAYIMI

Numune etkileşim hacminde **karakteristik** ve **sürekli** X-ışını oluşumunun yanı sıra **ikincil floresans** ışınımı da bulunmaktadır. Elektronların uyarımı sonucu üretilen X-ışınımı, numunenin içinde ikincil bir X-ışınımına (daha düşük enerjili) neden olmaktadır. X-ışını soğurumu ile oluşan bu ışınımına, ikincil floresans ışınımı adı verilir. **Kantitatif EDX analizinde düzeltilmesi gereken faktörlerden biridir.**

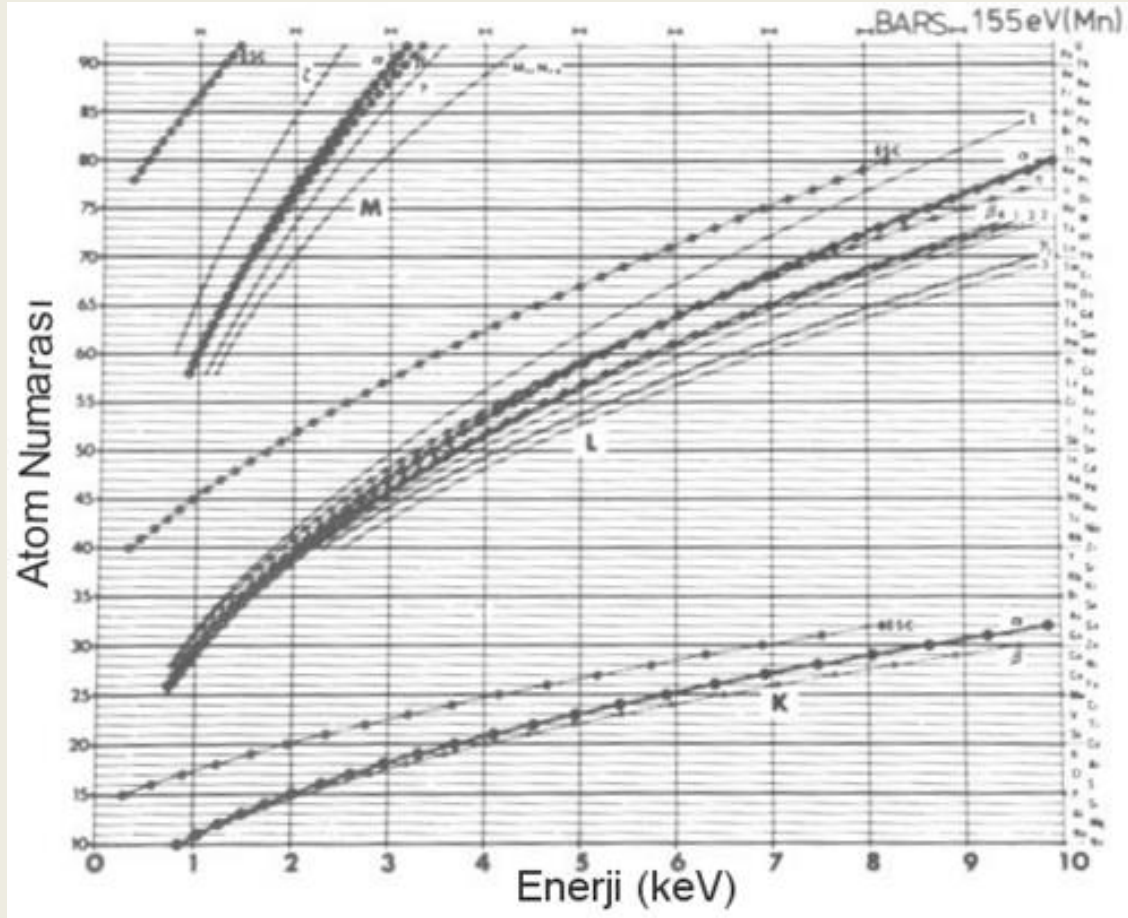
KARAKTERİSTİK IŞINIM

- İsimlendirme: $L \Rightarrow K$ K_{α}
 $M \Rightarrow K$ K_{β}
 $M \Rightarrow L$ L_{α}



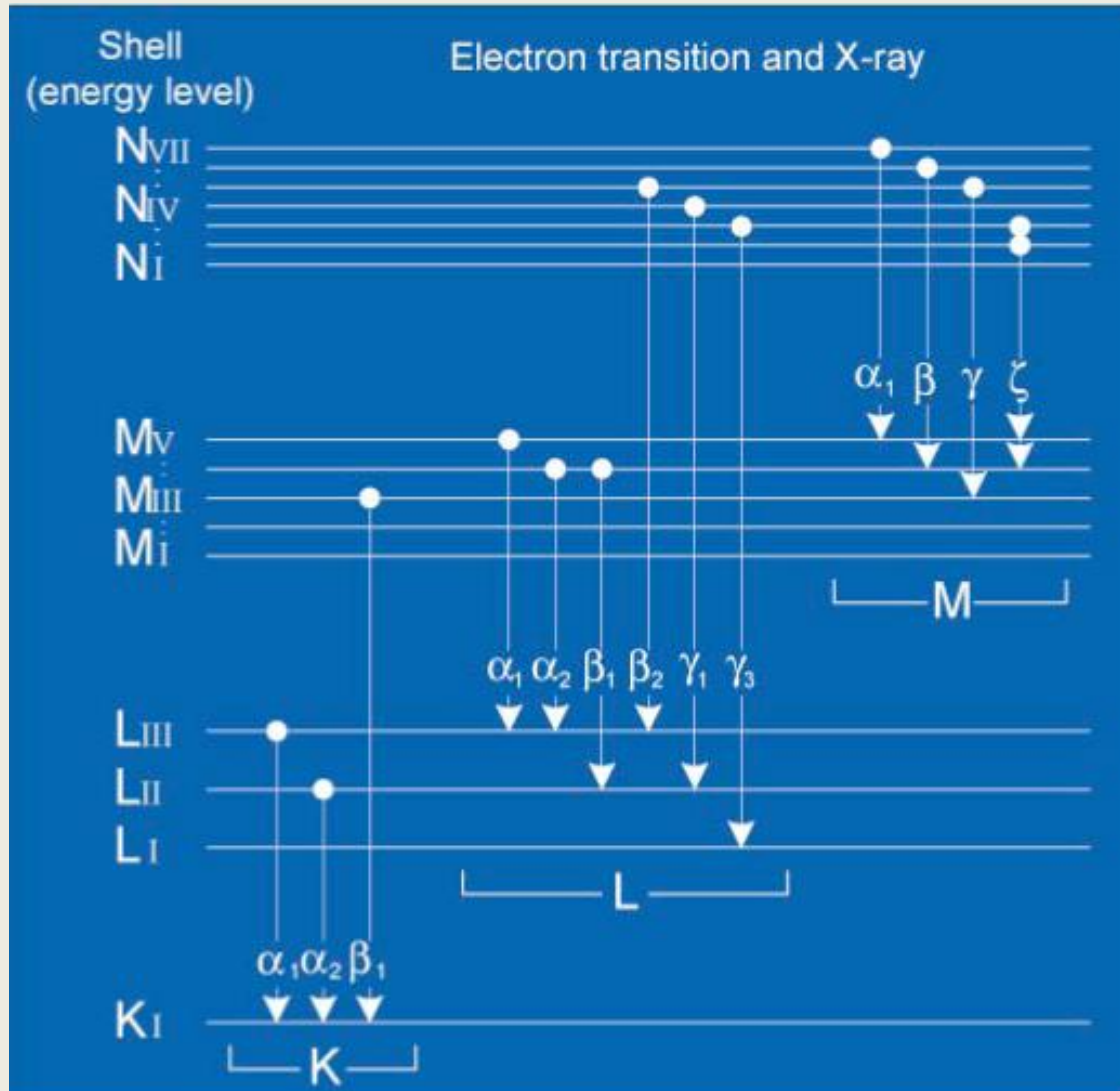
- Kantitatif EDX analizi için daima α piki kullanılır, α piki β' ya göre daha şiddetli bir oluşumdur. Ancak, elementlerin birbirinden ayırt edilmesi amacıyla (kalitatif analiz için) β pikleri de değerlendirmeye alınır.
- Esasta tüm elementler analiz edilebilir. Ancak pratikte kullanılan Be türü detektör penceresi, Na ($Z = 11$) dan Urayuma kadar analizi mümkün kılar; Na altı elementler dedektör penceresinde tamamen absorbe edilir. Yeni tür organik pencerelerde ise Be ($Z = 4$) elementine kadar inilebilir.

Elementlerin temel emisyon çizgilerinin enerjileri



Elementlerin emisyon çizgilerinin enerjileri şekilde verilmiştir. Görüldüğü gibi ayrıca alt gruplar da bulunmaktadır (örn. α_1 , α_2). Kantitatif EDX analizinde α alt grupları çok yakın oldukları için beraber sayılır.

ELEKTRON GEÇİŞLERİ ve X-IŞINIMLARI



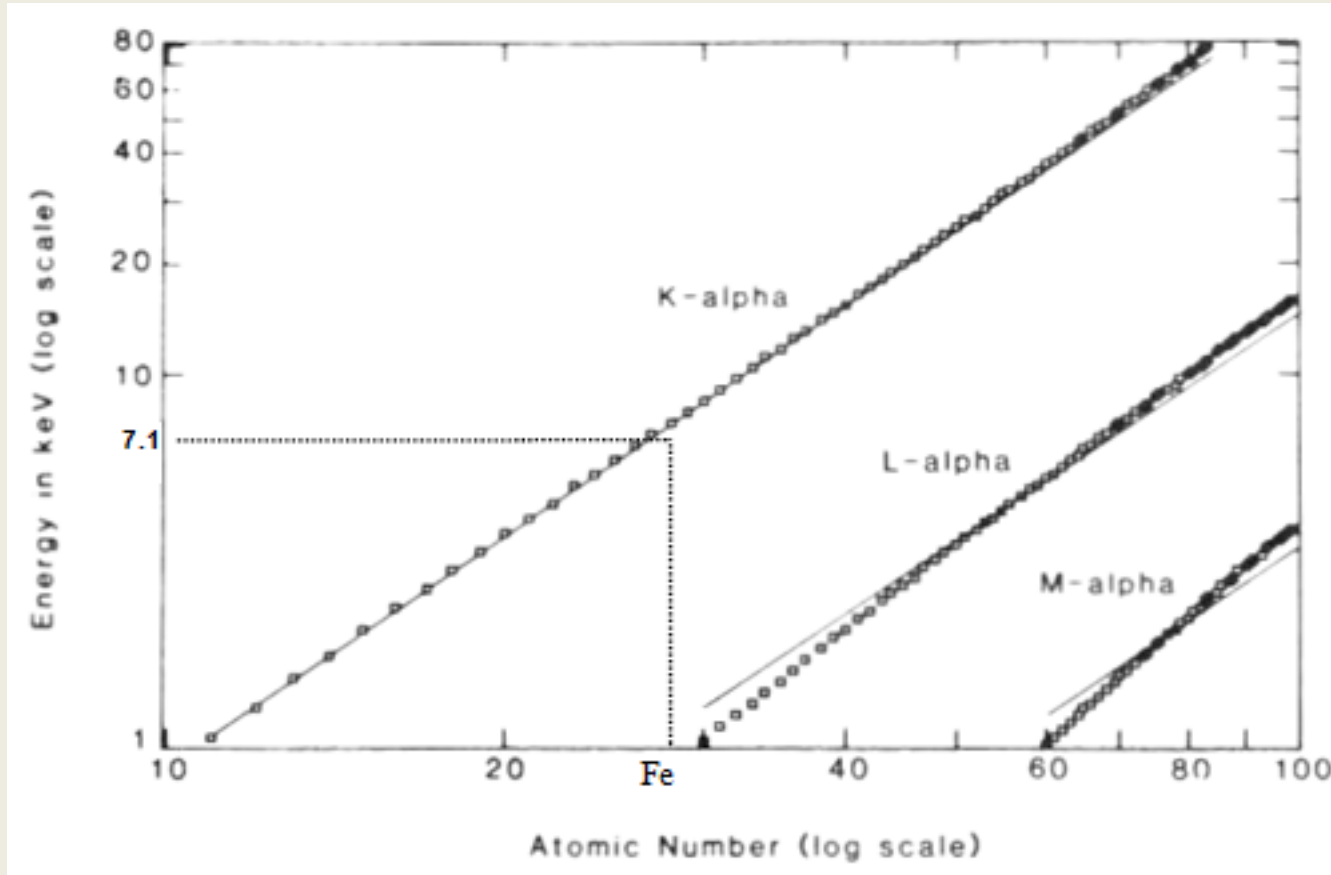
KARAKTERİSTİK X-IŞINIMI



Henry G. J. Moseley
(1887-1915)

- X-ışınları analiziyle kompozisyon belirlenmesi MOSELEY yasası ile gerçekleşir.
- Moseley, çeşitli elementlerin uyarılmasıyla ortaya çıkan X-ışını frekanslarının, o elementlerin atom numarasıyla basit bir doğrusal ilişkide olduğunu gözlemlemiştir.
- Atomun uyarılmasında bir yörünge elektronun atılabilmesi için, çarpan parçacığın (elektron, foton v.b.) yeterli enerjiye gereksinimi bulunmaktadır. Bu enerjiye bağ enerjisi veya o kabuk için kritik enerji (E_c) denir.

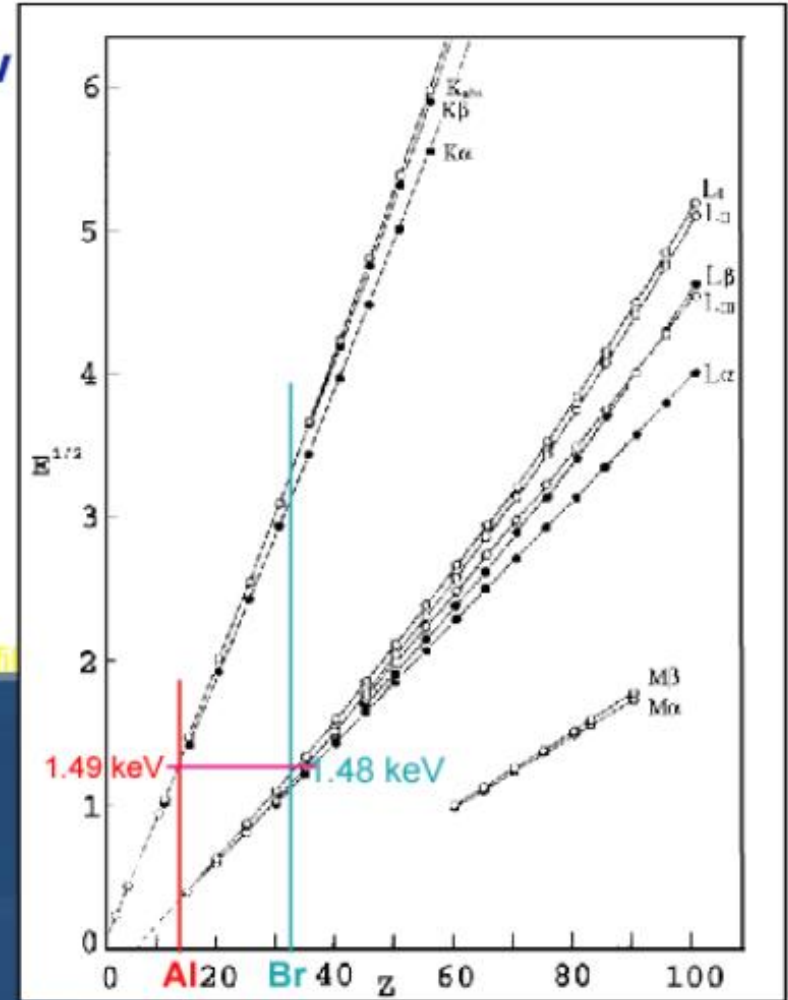
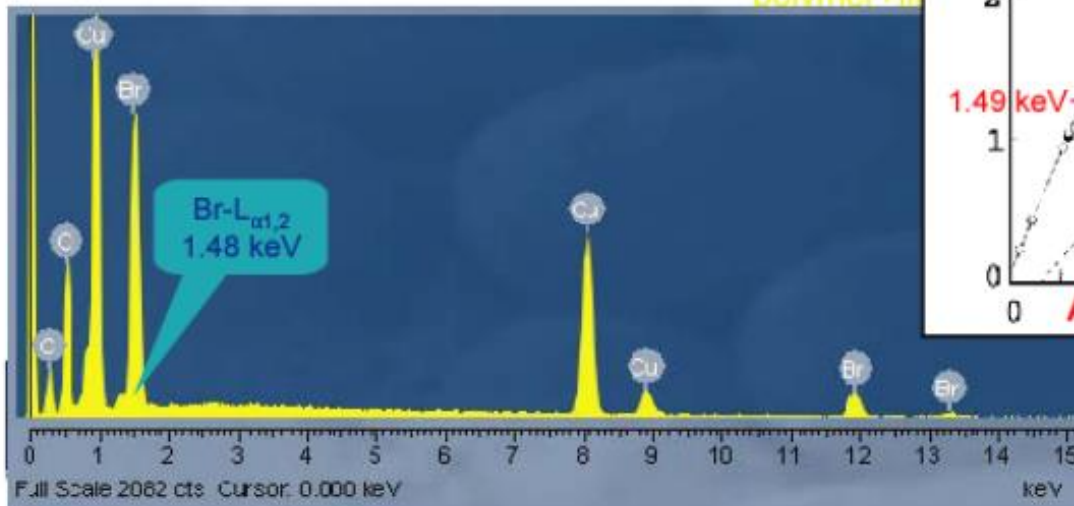
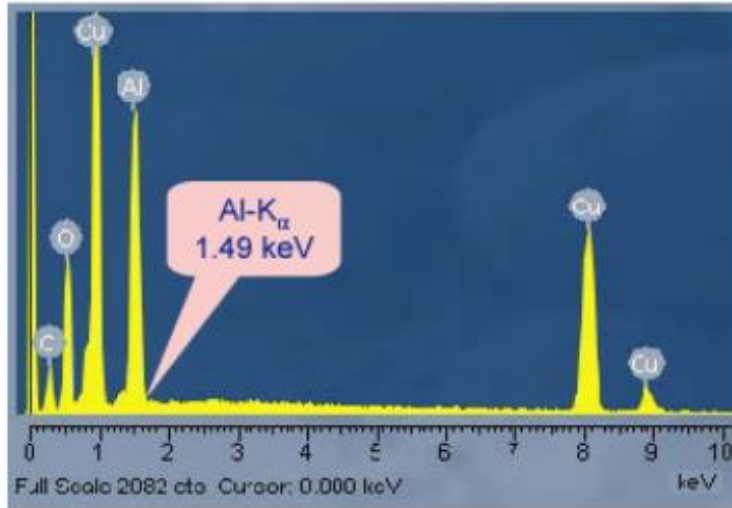
X-IŞINI ENERJİLERİNİN ATOM NUMARASINA GÖRE LOGARİTMİK EĞRİLERİ



Fe için kritik enerji $E_c = 7,111$ keV'dir. Demirin $K\alpha_1$ yayım enerjisi 6,403 keV olup, bunun için $L_3 \rightarrow K$ atlaması gerekiyor. Boşalan L_3 yeri $M_5 \rightarrow L_3$ atlaması ile doluyor. Burada da $L\alpha_1$ yayımı (0,704 keV) gerçekleşiyor. Böylece her iki yayım enerjisinin toplamı kritik enerjiye (E_c) eşit oluyor.

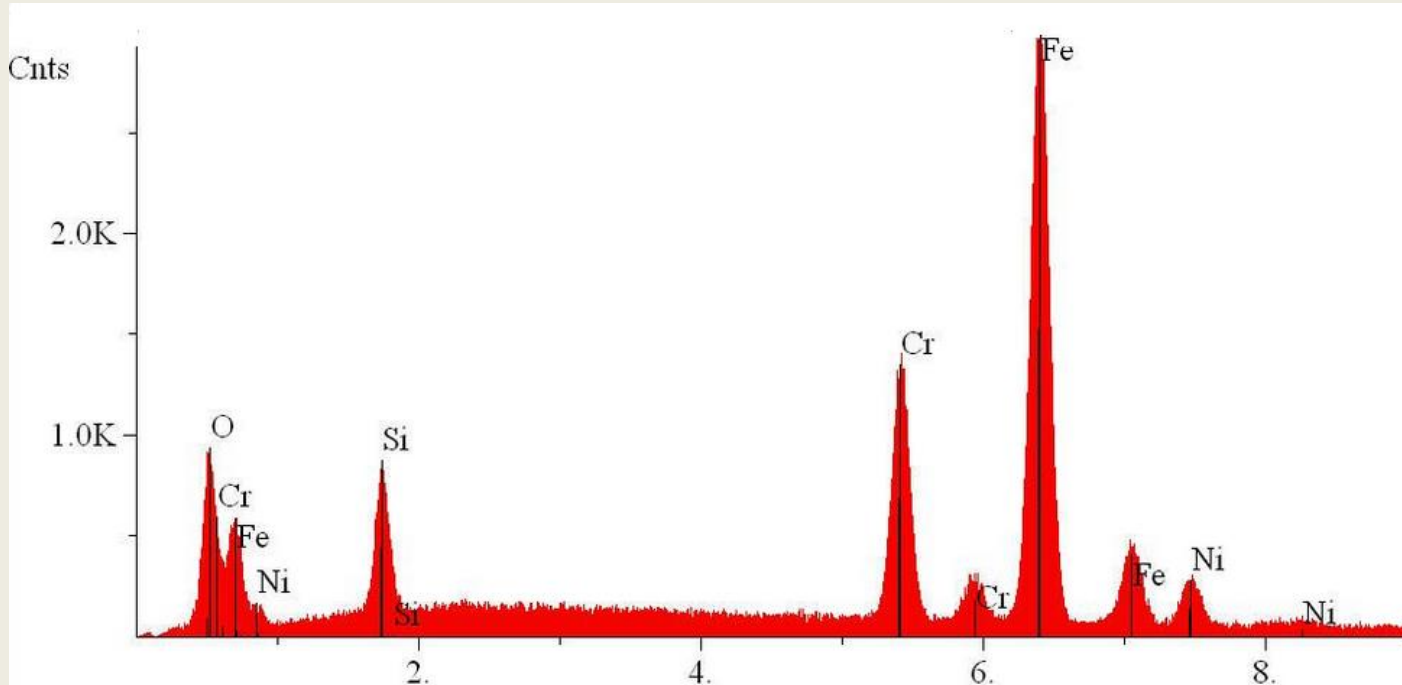
FARKLI ELEMENTLERİN BİRBİRİNE ÇOK YAKIN ENERJİYE SAHİP ÇİZGİLERİ

Characteristic lines: Moseley's Law



KARAKTERİSTİK X-IŞINIMI

- Karakteristik X-ışını enerjisinin ait olduğu elementten elde edilen şiddet kullanılarak, o elementin kütleli miktarı (kütle-%) hesaplanır.
- Ancak konsantrasyon hesaplamasında düzeltme yapmak gerekir. Bu işlem **ZAF düzeltmesi** olarak adlandırılır.
- Pratikte uyarım enerjisinin 2,5 misli bir elektron enerjisiyle çalışmak gereklidir; Örneğin çelik matrisi (Fe $K_{\alpha} = 6.4$ keV) için 15-20 keV yeterli bir değerdir.



KARAKTERİSTİK X-IŞINIMI ENERJİLERİ

EDS analizinde 15-20 keV ile çalışıldığında;

hafif elementler,

K serisi

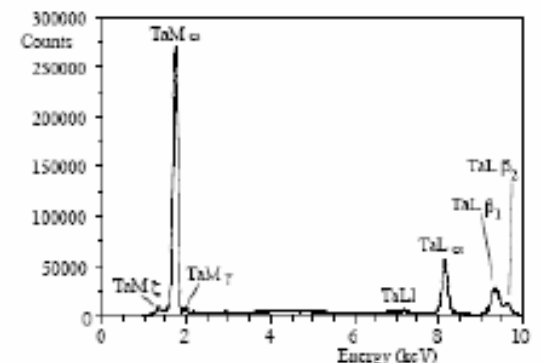
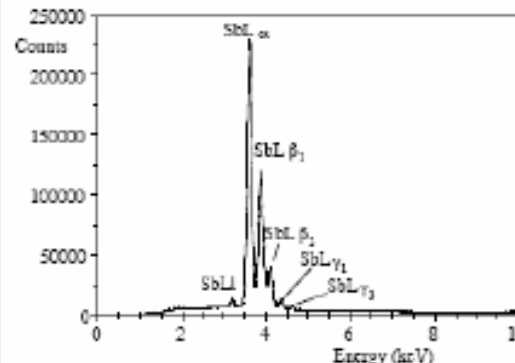
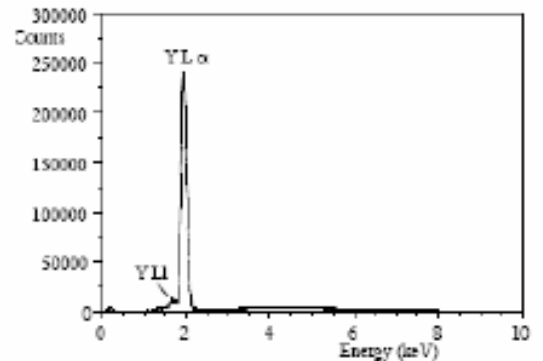
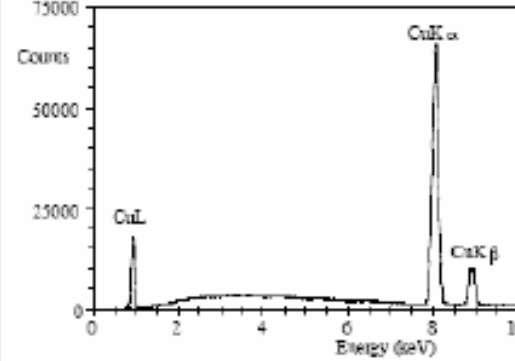
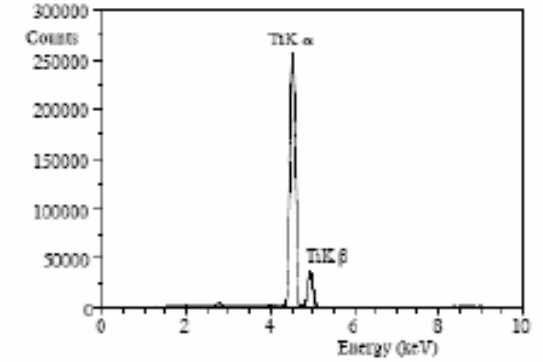
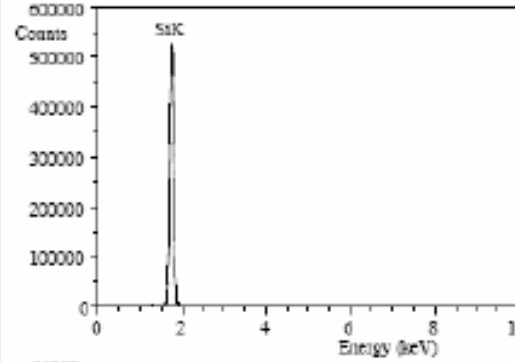
orta elementler,

L serisi
veya
K + L serisi

ağır elementler,

M serisi
veya
L + M serisi

karakteristik ışın yayarlar.



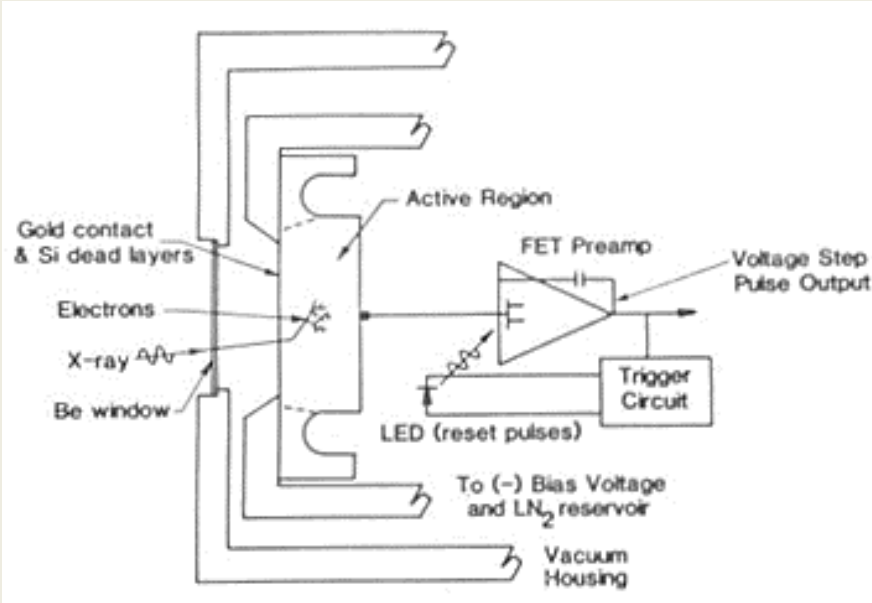
EDX DEDEKTÖRÜ

- Tipik bir EDX detektörü kristali Li katkılı Si kristaline ve ona bağlı FET (alan etkili transistör) ön yükselteç devresine sahiptir. Detektöre gelen X-ışını fotonu ölü katman altı aktif bölgede serbest bir **elektron-boşluk** çifti oluşturur. Oluşan yük taşıyıcı çifti sayısı “N”, X-ışını fotonunun enerjisiyle doğru orantılıdır.

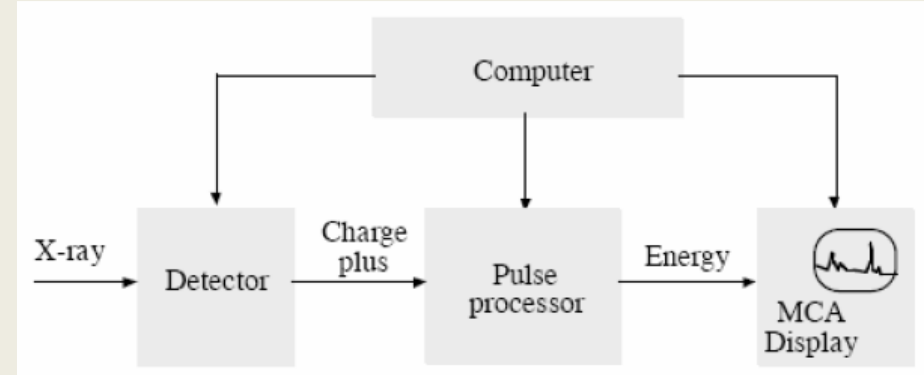
$$N = E / \varepsilon$$

- Bu eşitlikte, ε orantı sabitidir ve 3.8 eV (Li katkılı Si içinde 1 elektron-boşluk çifti oluşturmak için gerekli enerji) değerine sahiptir.
- Detektöre uygulanan gerilimle bu çiftler emilir ve bir voltaj darbesine (impulse) dönüştürülür. Oluşan darbe E ile doğru orantılı olduğu için, darbe yüksekliğine bağlı olarak, X-ışını enerjileri çok kanallı bir çözümleyicide (MCA) sınıflandırılır. Kanal eni (eV/kanal) spektrum kalibrasyonunu gösterir.

EDX DEDEKTÖRÜ

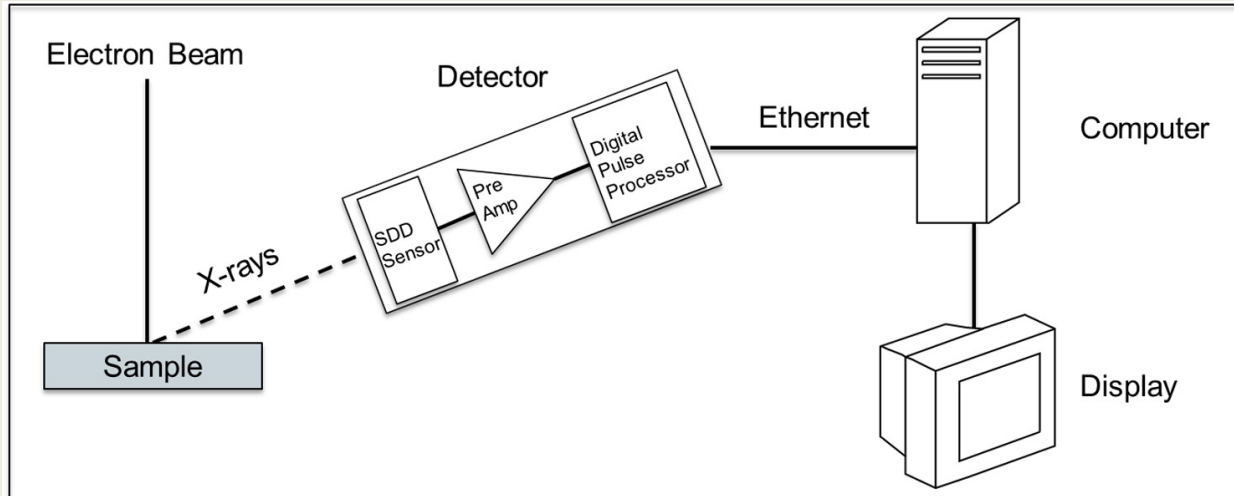


Kaynak: Kocaeli Üniversitesi, Metalurji ve Malzeme Mühendisliği Ders Notları



Kaynak: «Energy Dispersive Spectroscopy on the SEM: A Primer» Bob Hafner

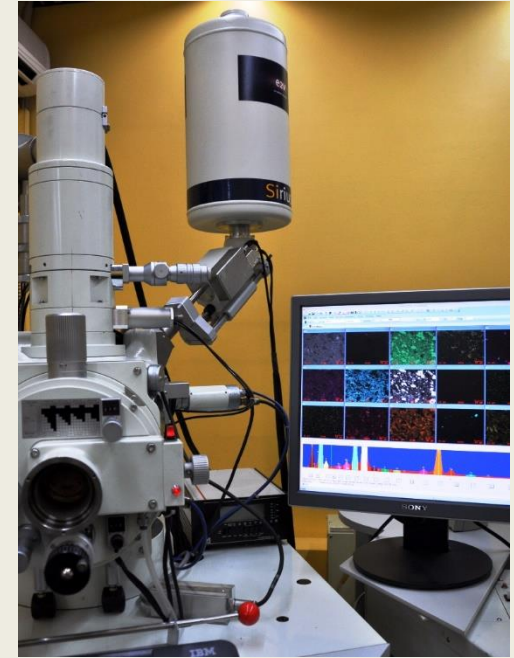
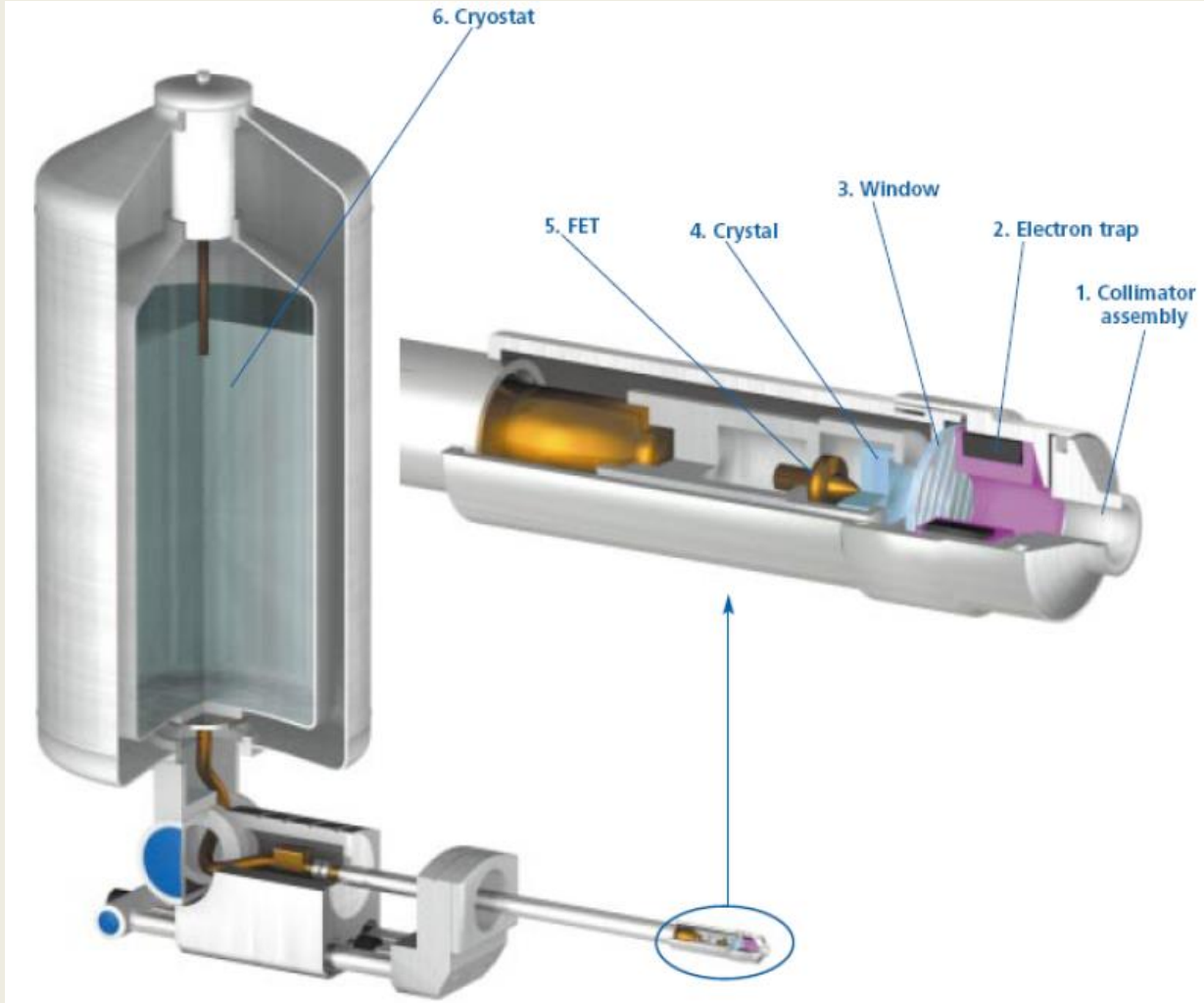
Si (Li) dedektörünün iç yapısı



Kaynak: Energy Dispersive Spectroscopy, EDAX, Microscopy and Analysis

SDD dedektör ve bağlı donanım

Si(Li) DEDEKTÖRÜ



SDD DEDEKTÖRÜ

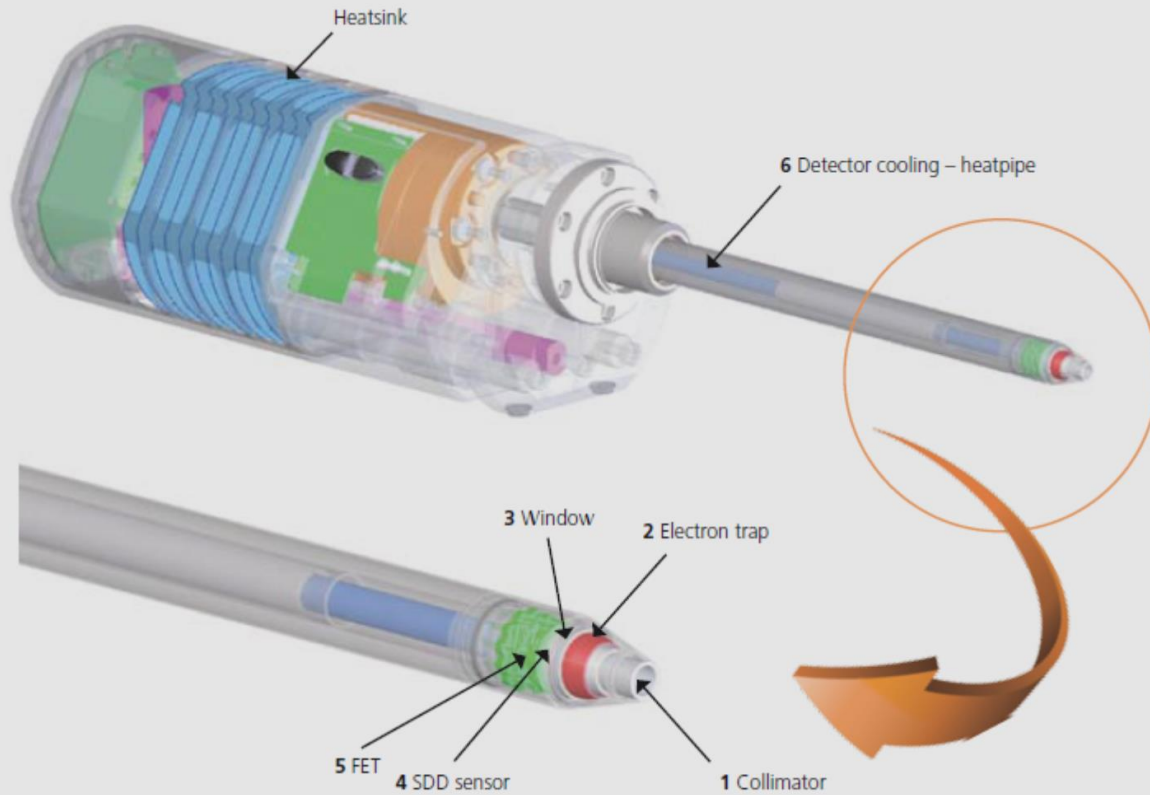


Fig. 3. Cutaway diagram showing construction of a large area SDD detector.

SDD DEDEKTÖRÜ FARKLI KRİSTAL BÜYÜKLÜKLERİNİN SAYIMA ETKİSİ

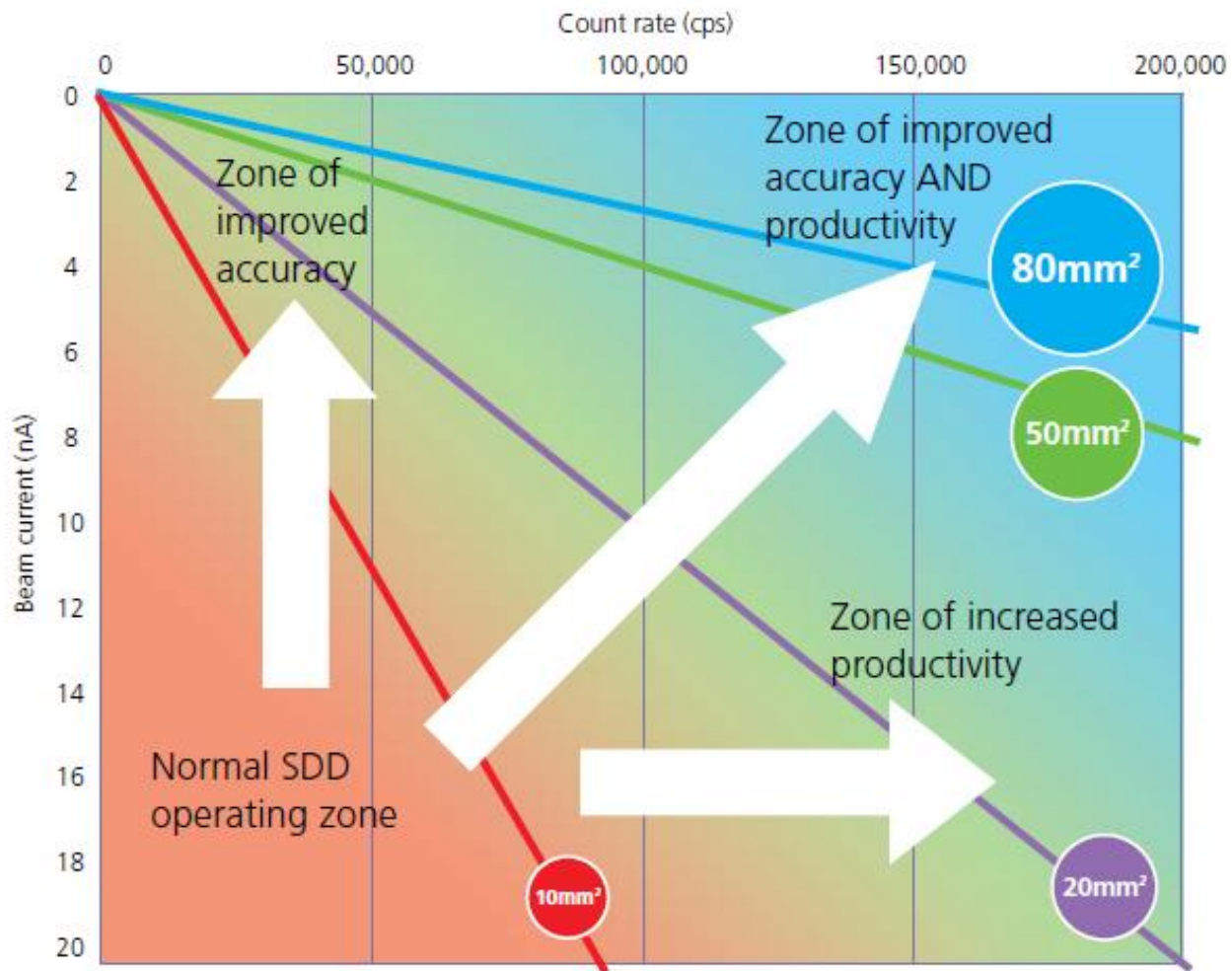
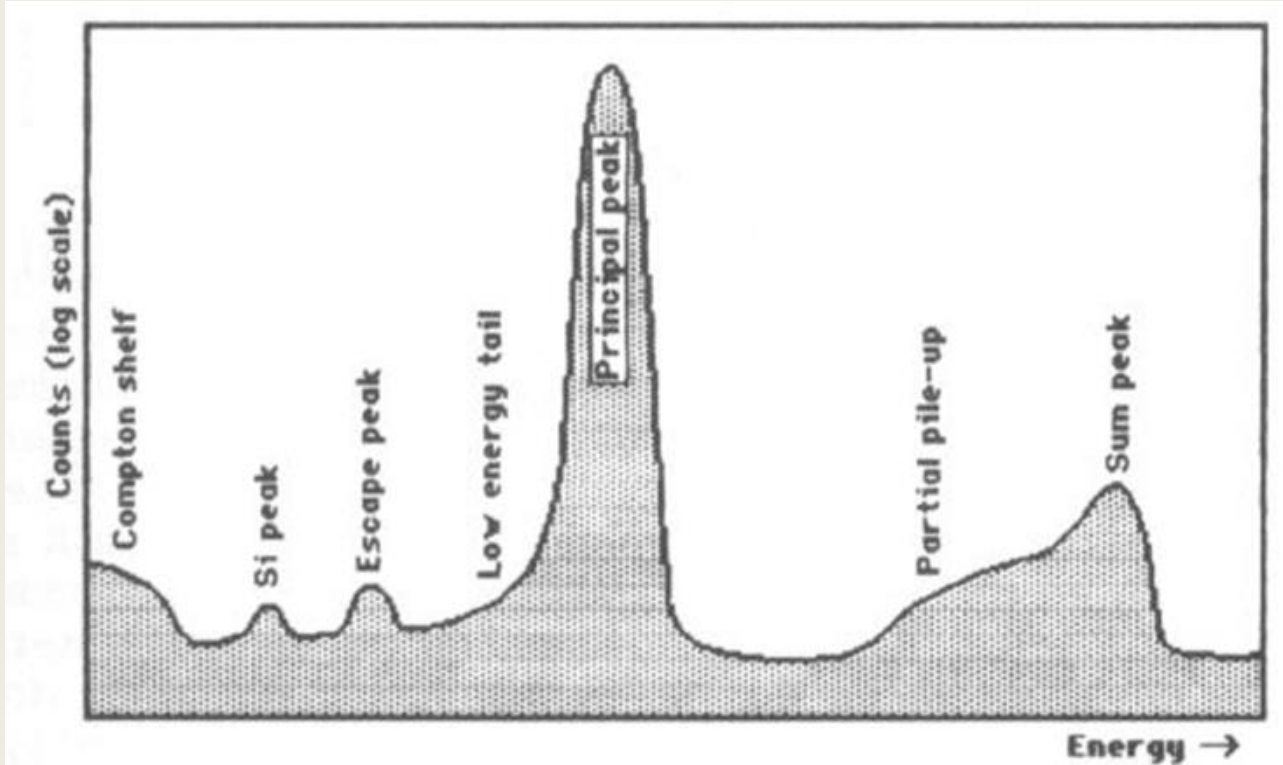


Fig. 18. Count rate vs beam current for different sensor sizes. At the same beam current a large area SDD sensor receives a much higher count rate than a 10 mm² sensor.

YAPAY PİKLER

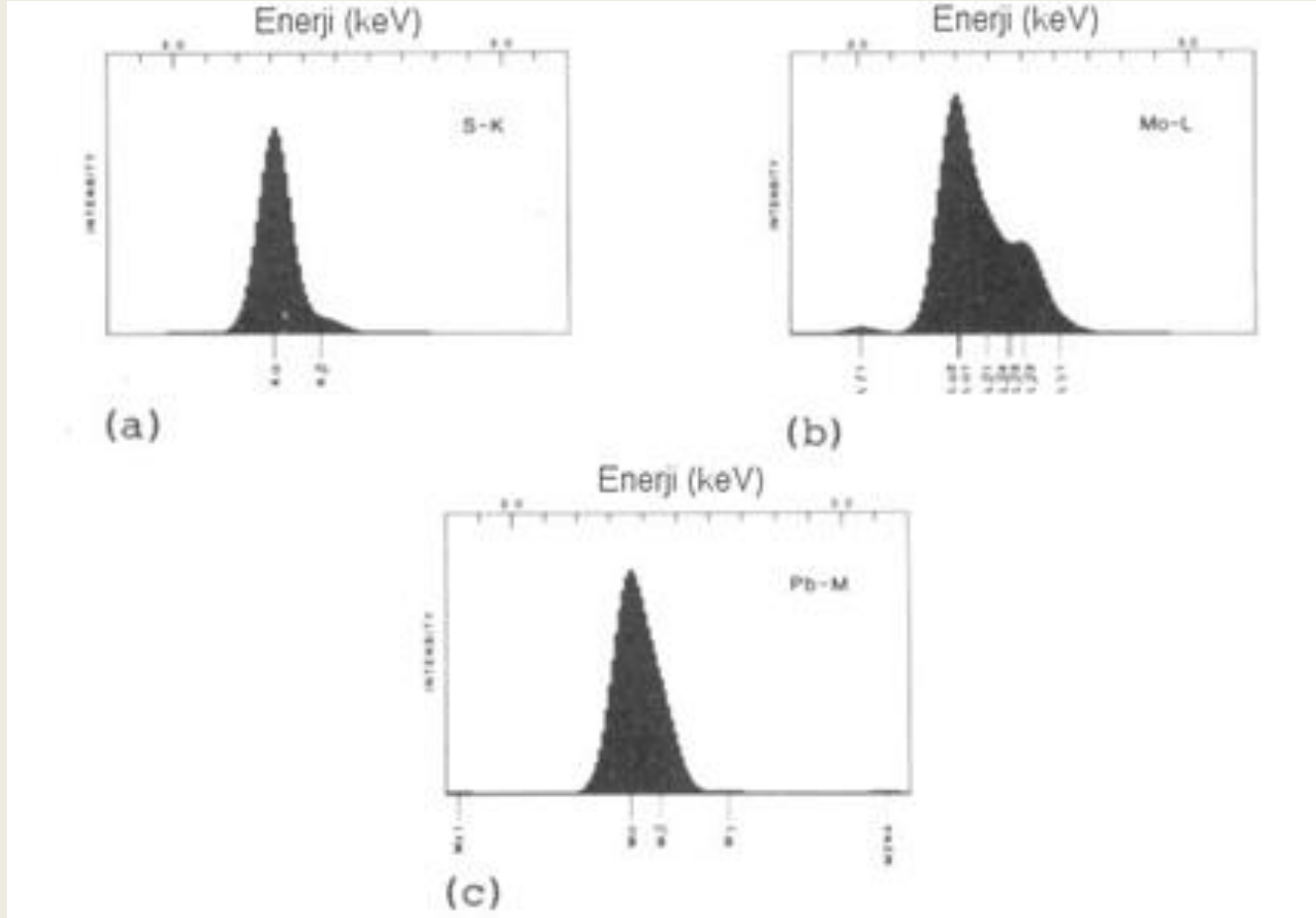


Enerji Dağılım Spektrometresi ile alınmış tek bir element pikinin şematik diyagramı şekilde verilmiştir. Görüldüğü gibi prensipte kullanılan pikin yanı sıra pik üst üste binmelerinden (partial pile-up ve sum peak) detektör içi oluşan değişik pik oluşumları (escape pik, Si pik ve Compton efekti) görülmektedir. Bu tip reel olmayan pik oluşumlarını her zaman göz önünde bulundurmak gerekir.

PİK ÇAKIŞMALARI

- Özellikle üst üste çakışmalarda element pik şeklinin bilinmesi sonucu analizde hangi elementin var olduğu hakkında kalitatif belirleme rahatça yapılabilir.
- Bu durumda pik şeklini bilmek doğru karar vermekte çok önemli rol oynar. Ayrıca diğer kabuk piklerinin de incelenmesiyle karmaşa rahatça giderilebilir.
- Hem elektronik gürültüyü ve hem de Si içi Li yayınımlarını engellemek için detektör soğutması sıvı N₂ ile veya Peltier soğutucusuyla yapılır.
- Detektörde daima sapma problemi vardır. Bu nedenle yanlış analiz eldesini ortadan kaldırmak için belirli zaman aralıklarında gerekli kalibrasyonların yapılması gerekmektedir.

PİK ÇAKIŞMALARI



(a) Kükürt K, (b) Molibden L ve (c) Kurşun M pikleri

Şekilde tipik bir üst üste çakışma gösterilmiştir. S-K, Mo-L ve Pb-M pikleri hemen hemen aynı enerjide çakışır.

ZAF DÜZELTMESİ

- Herhangi bir elementten alınan pik altı alan integrali (sürekli ışınım sınırlandırmasıyla) o elementin kütlese miktarını verir.
- Ancak doğru bir analiz için (aşağıda yazılan formülde verildiği gibi) **Z**, **A** ve **F** düzeltmesinin yapılması gerekir.

$$C_i = k \cdot k_z \cdot k_A \cdot k_F$$

Bu eşitlikte;

C_i = i elementinin konsantrasyonu

k = i elementinin bağıl şiddeti

k_z = Atom Numarası Etkisi

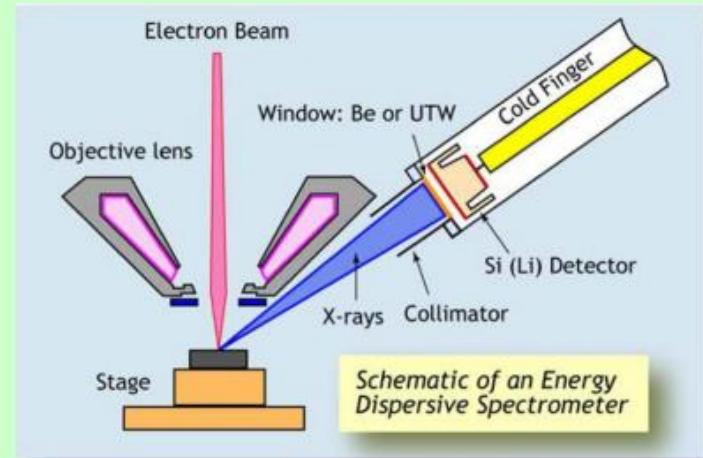
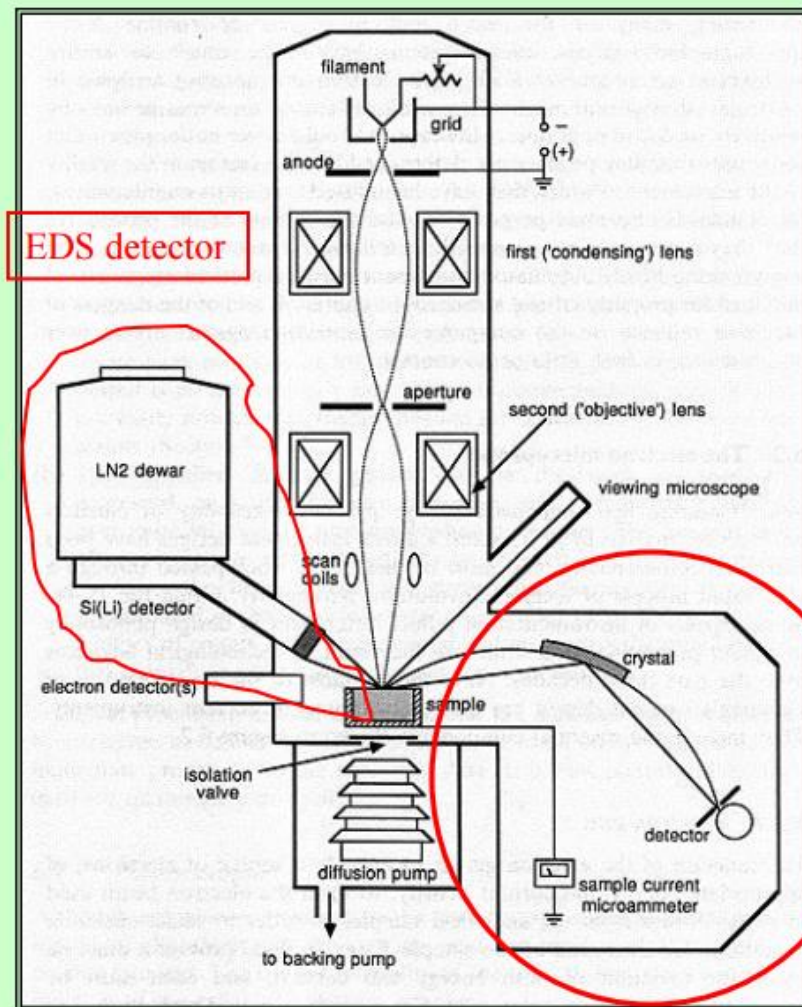
k_A = Soğurma (Absorpsiyon) Etkisi

k_F = Floresans Etkisi

X-IŞINI AYIRMA GÜCÜ (RESOLUTION)

- X-ışın ayırma gücünü hem numune içi yayılım hacmi, hem de element pikinin şekli belirler.
- **Uzaysal (spatial) ayırma gücü** ortalama oluşum derinliğine eşittir. Düşük numaralı atomlar için (düşük Z): $1-5 \mu\text{m}^3$; Yüksek numaralı atomlar için (yüksek Z): $0.2-1 \mu\text{m}^3$
- **Enerji ayırma gücü** ise pik çizgisi tarafından belirlenir. Genelde, Mn-K α pikinde yarı maksimumdaki tüm genişlik değeri (FWHM; full width at half maximum) ile verilir (tipik değer 5,9 keV'de ortalama 130 eV).

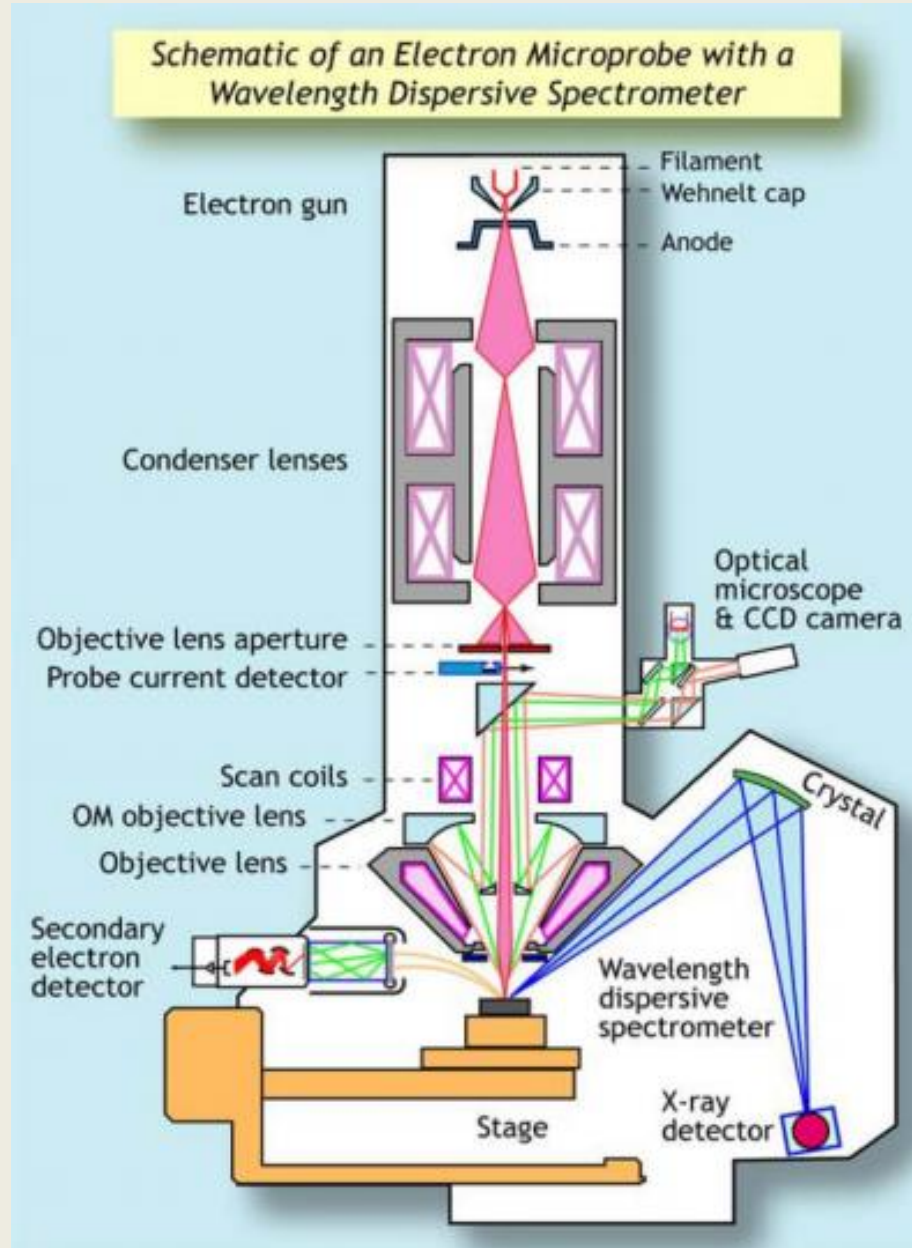
SEM'DE EDX (ENERJİ DAĞILIM SPEKTROMETRESİ) VE WDS (DALGABOYU DAĞILIM SPEKTROMETRESİ)



SEM combined with Energy dispersive spectrometer (EDS) and Wavelength Dispersive Spectrometer (WDS).

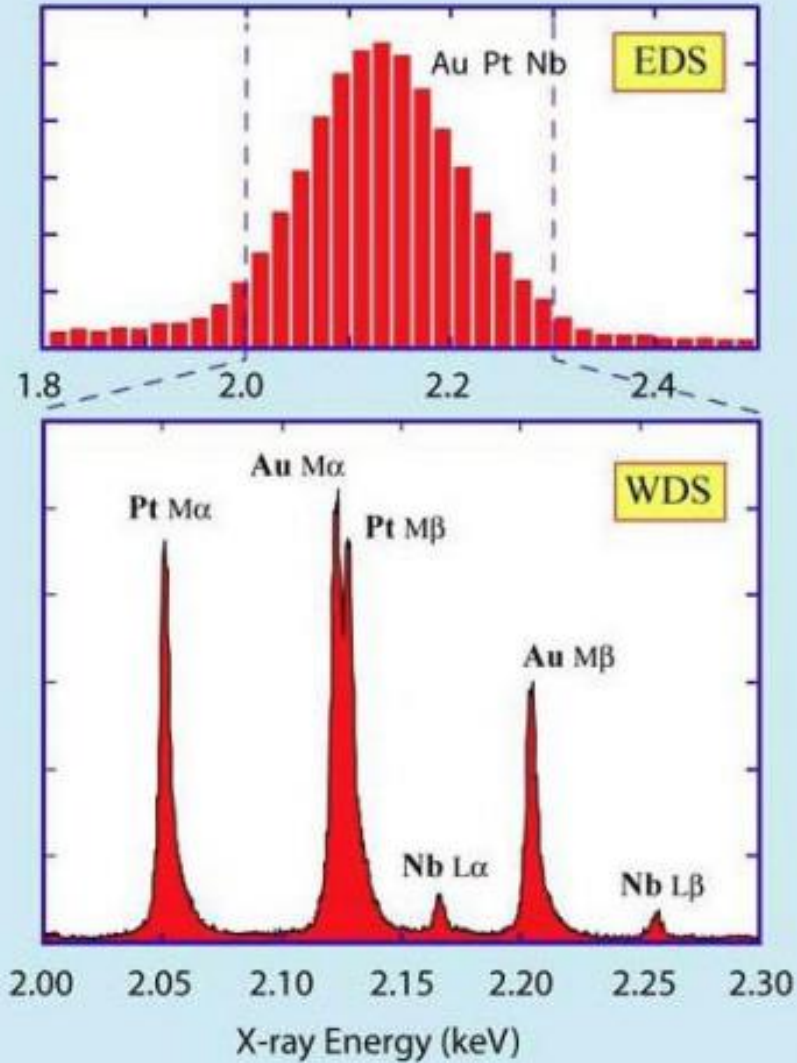
WDS
spectrometers

ELEKTRON MİKROPROB WDS (DALGABOYU DAĞILIM SPEKTROMETRESİ)

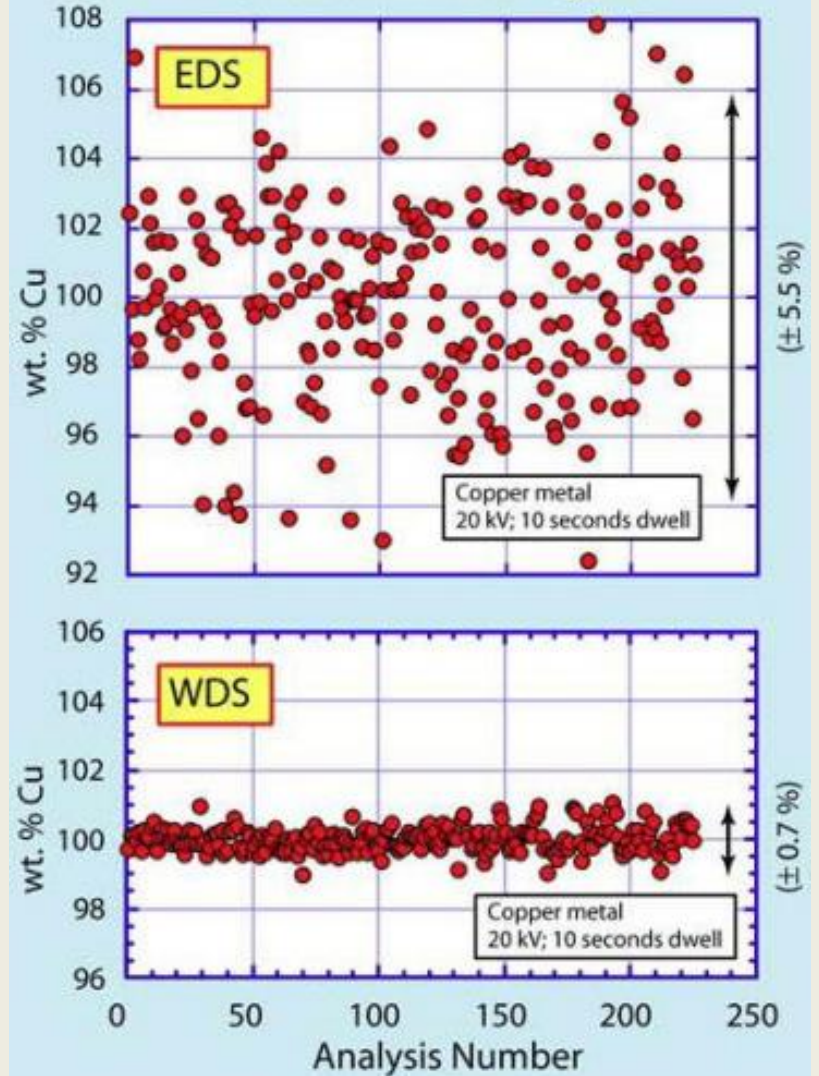


EDX ve WDS'in KARŞILAŞTIRILMASI

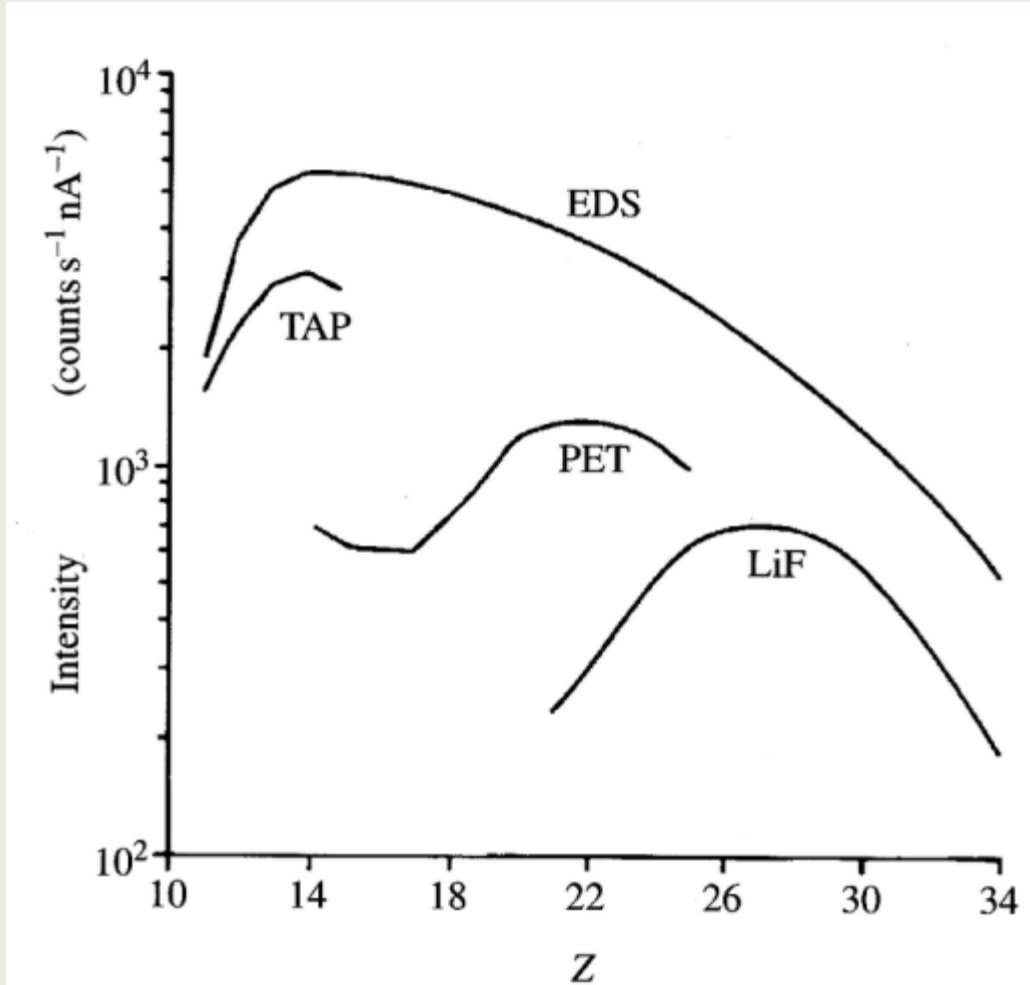
Energy Resolution of EDS vs WDS



Reproducibility of EDS and WDS for Quantitative Analyses

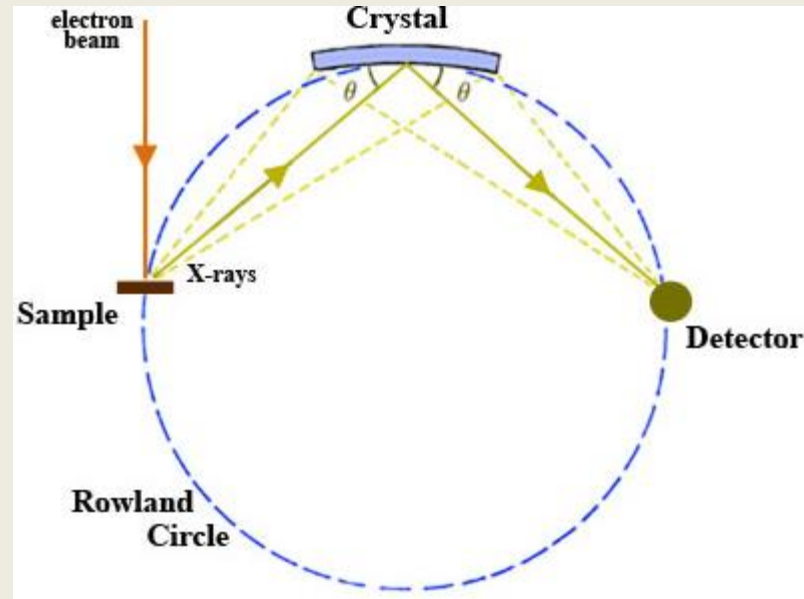


EDX (ENERJİ DAĞILIM SPEKTROMETRESİ) VE WDS (DALGABOYU DAĞILIM SPEKTROMETRESİ)



Elementlerin K α çizgilerinin EDX ve WDS (farklı analizör kristaller kullanılarak) ile elde edilen şiddetleri

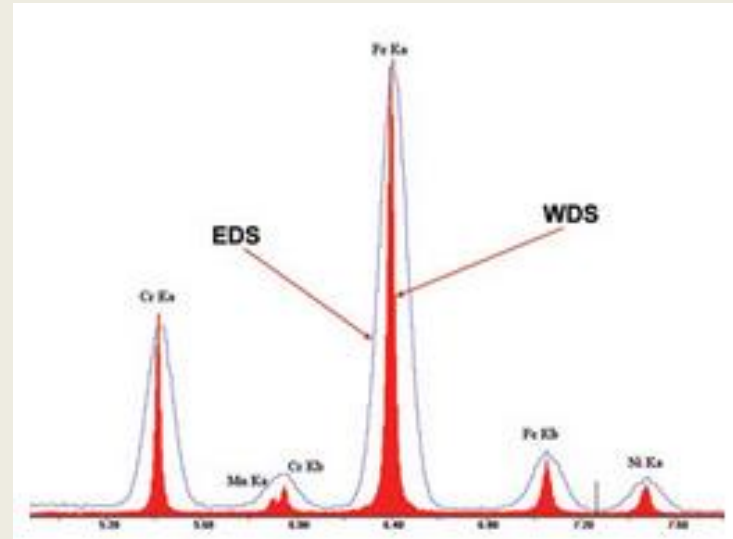
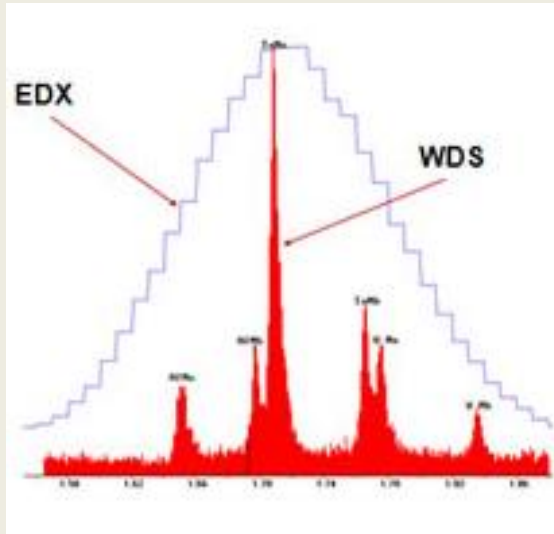
WDS ANALİZÖR KRİSTALLERİ



	2d (nm)	Atomic Number										
		6	14	22	30	38	46	54	62	70	78	86
TAP	2.576	8O	15P	24Cr	41Nb	46Pd	79Au					
PET	0.8742	13Al	25Mn	36Kr	65Tb	70Yb						
LIF	0.4027	19K	37Rb	48Cd								

EDX ve WDS SPEKTROMETRELERİNİN KIYASLANMASI

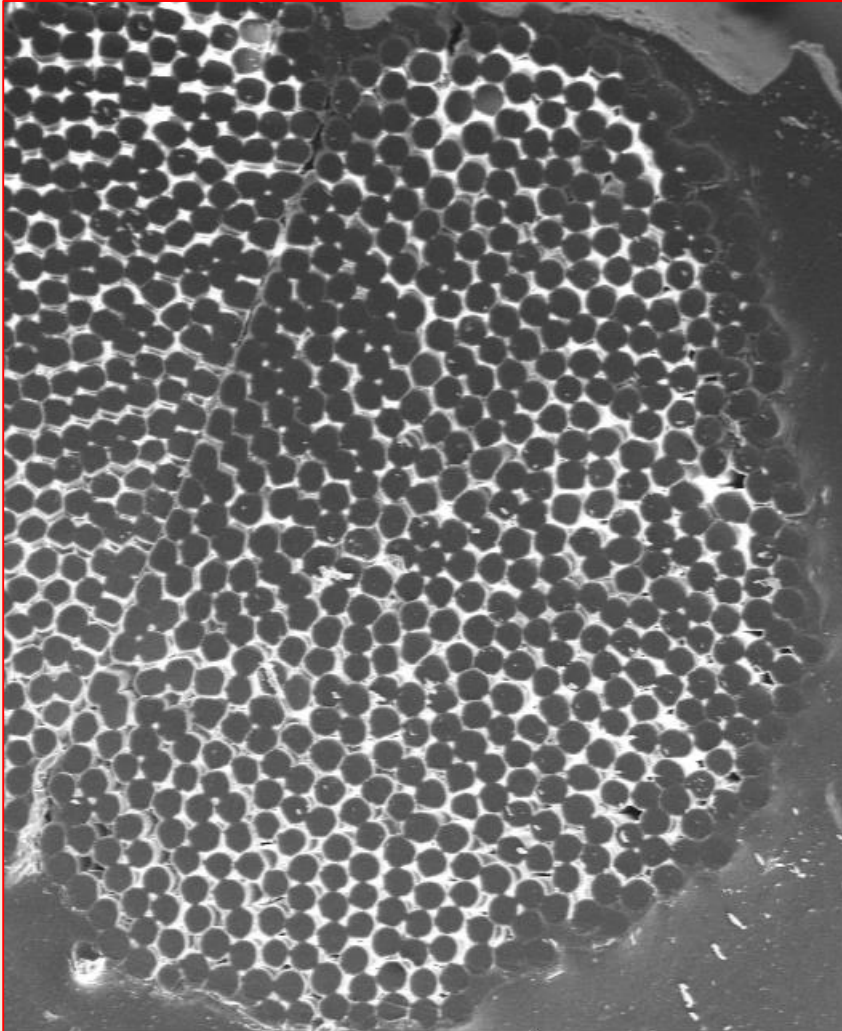
	EDS	WDS
Numune hazırlama gereklilikleri	Düşük	Yüksek
Numunenin analiz sonuçlarına etkisi	Düşük	Yüksek
Sinyal / Gürültü oranı	~ 100	~ 1000
Enerji çözünürlüğü (5.9 keV için)	134 eV	~ 10 eV
Ölçüm sınırı (hassasiyeti)	~ % 0.1	~ % 0.01
Hafif elementlerin analizi	Zor / Sorunlu	İyi



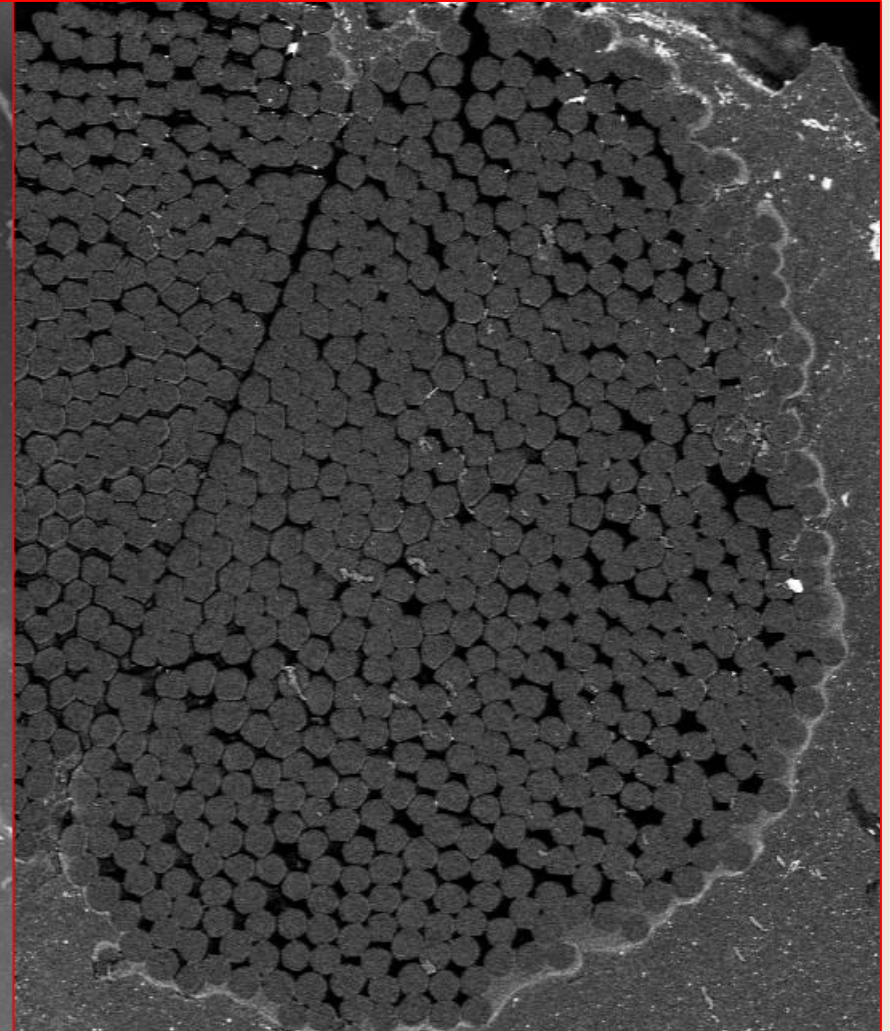
SEM / EDX UYGULAMALARINA ÖRNEKLER

KAUÇUK KARIŞIMI İÇİNDEKİ BİR TEKSTİL KORD KESİTİNİN (SE) ve (BSE) GÖRÜNTÜLERİ

SE

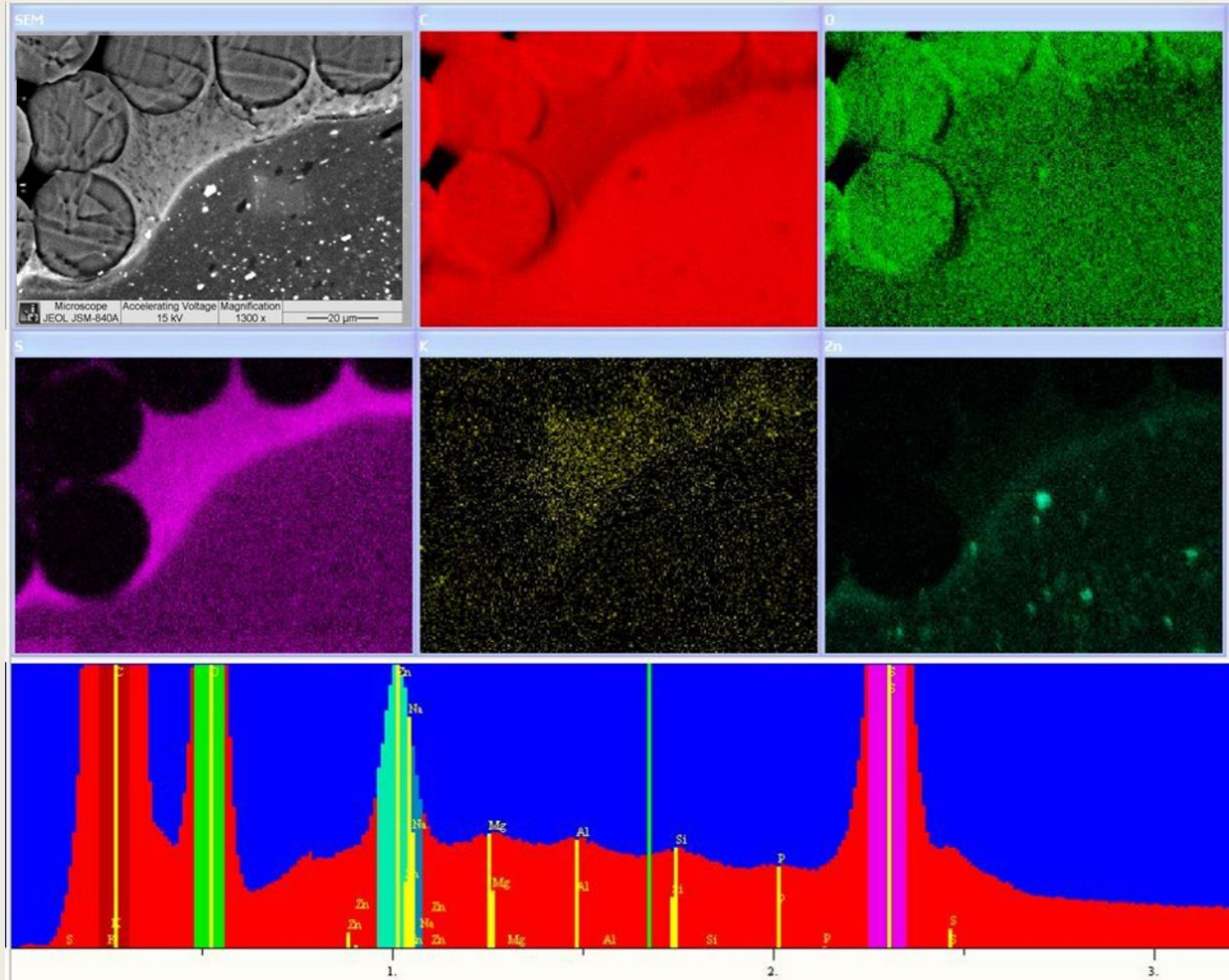


BSE

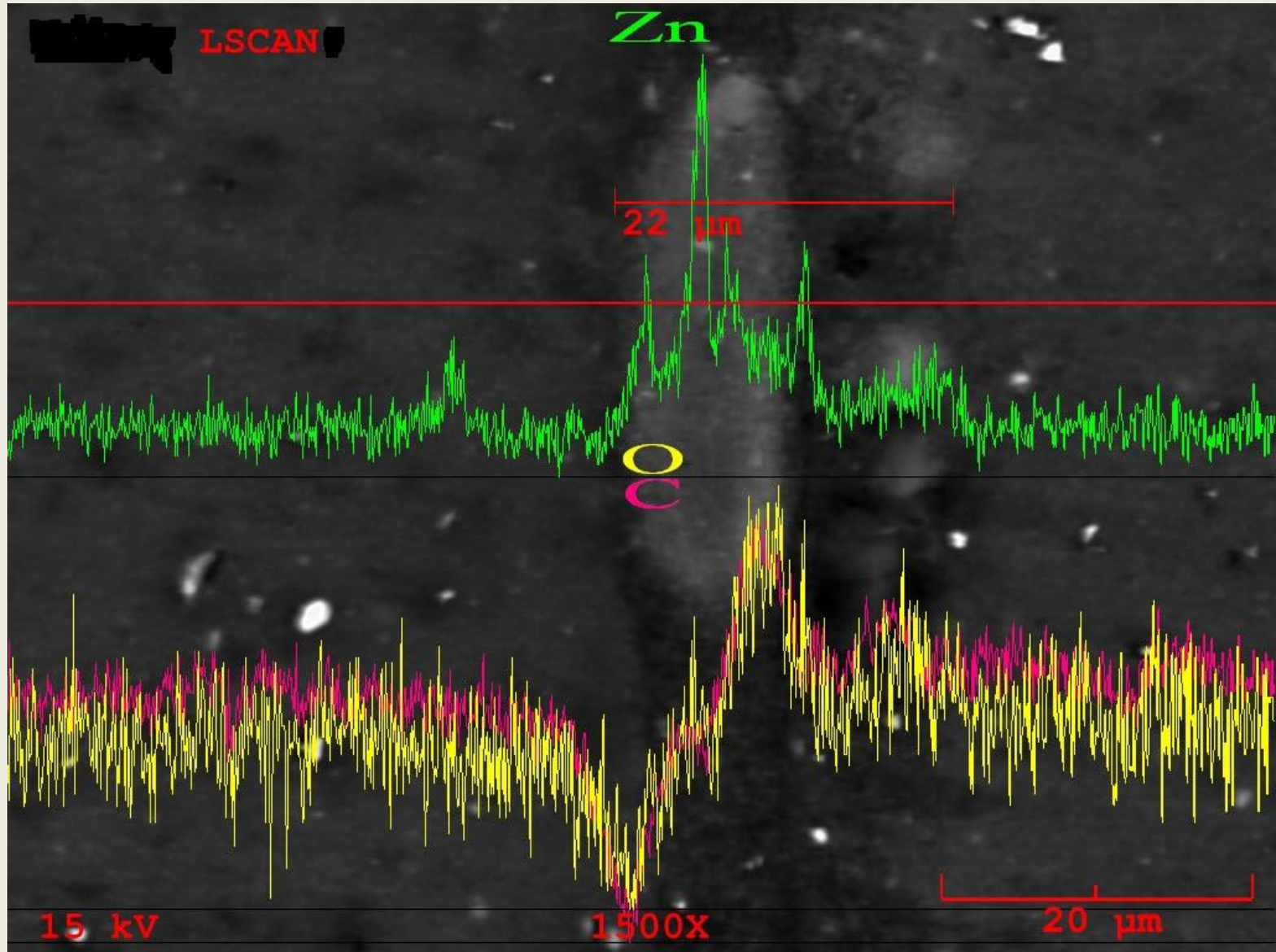


ating Voltage	Magnification		ating Voltage	Magnification	
15 kV	90 x	—200 μ m	15 kV	90 x	—200 μ m

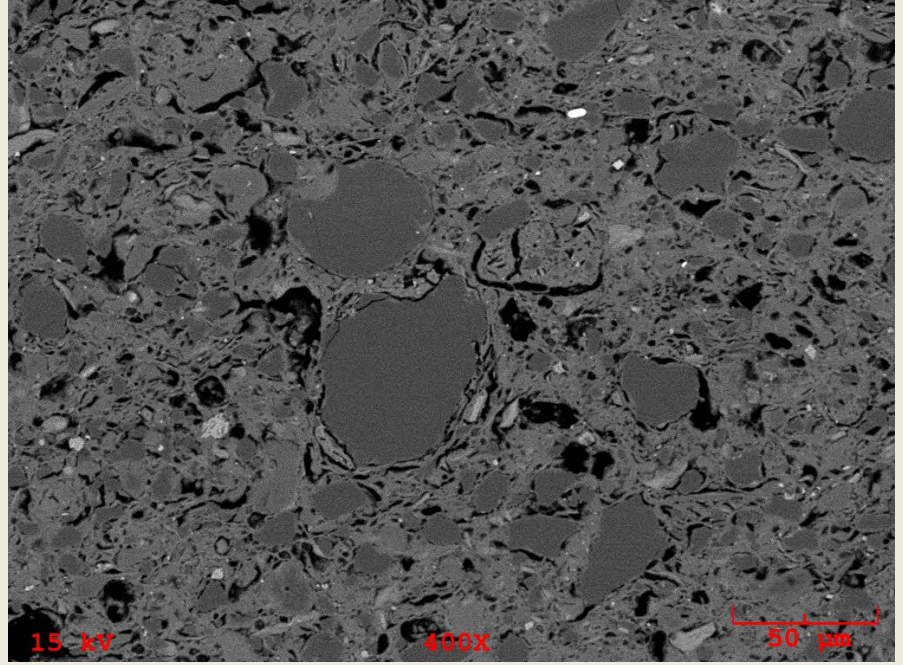
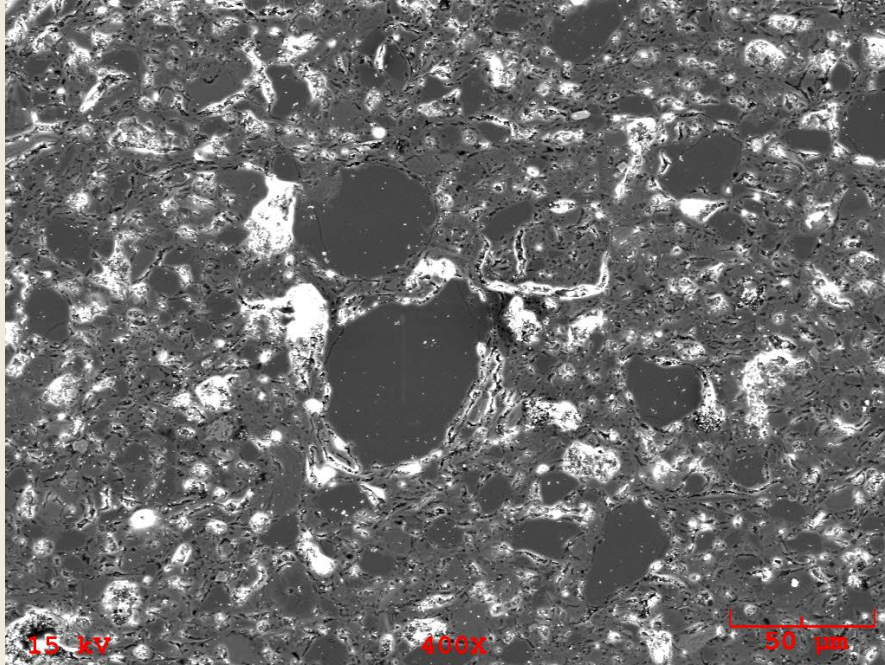
TEKSTİL KORD-KARIŞIM ARA YÜZEYİNİN X-IŞINI ELEMENTEL HARİTALARI



KAUÇUK KARIŞIMINDA DAĞILMAMIŞ YABANCI BİR MADDEİN ÇİZGİ TARAMA ANALİZİ

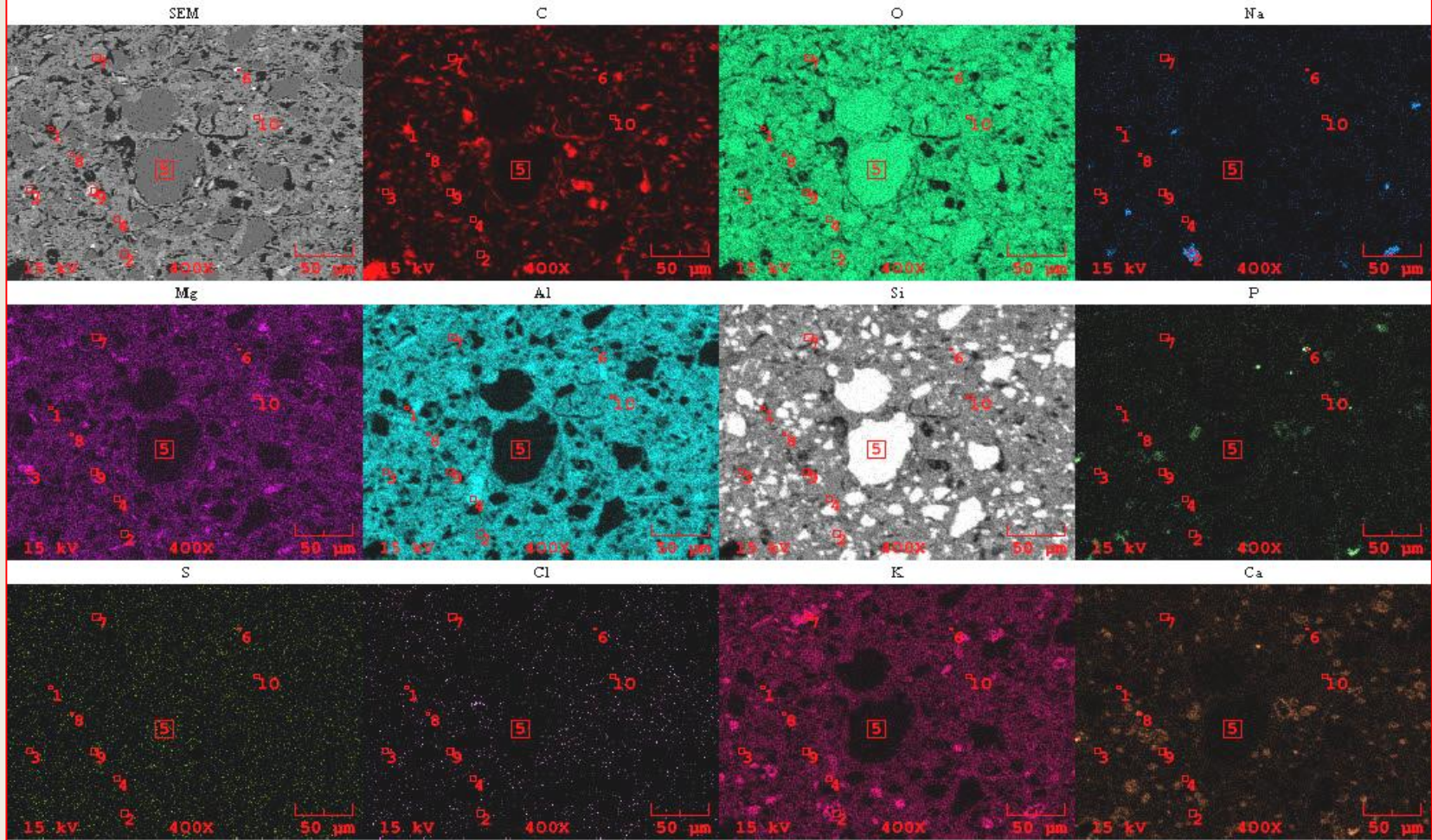


ÇÖMLEK PARÇASI KESİTİNİN SE ve BSE GÖRÜNTÜLERİ



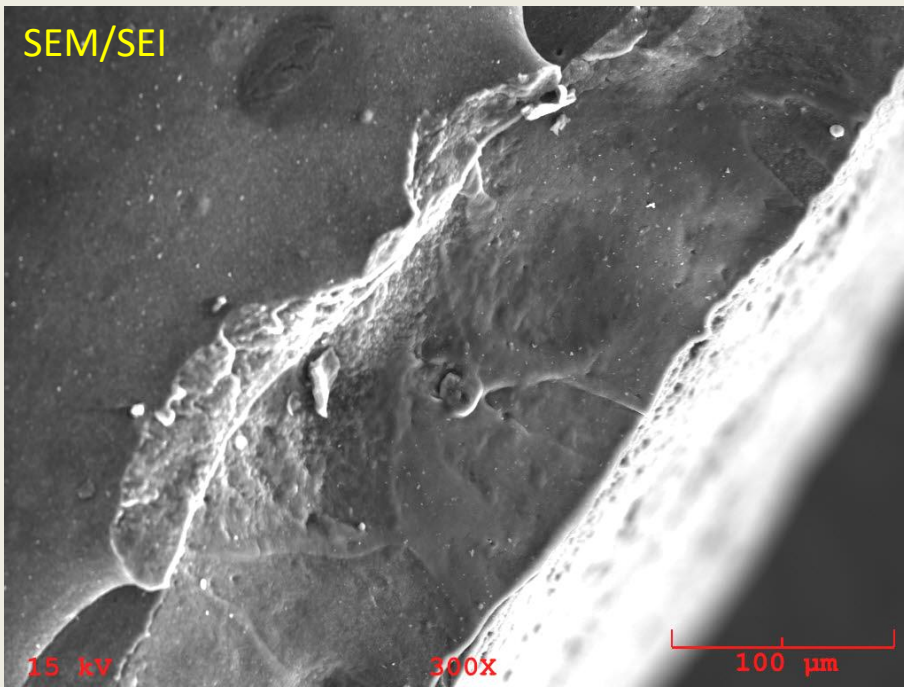
ÇÖMLEK PARÇASINDAKİ FAZLARIN ANALİZİ

FastMap2

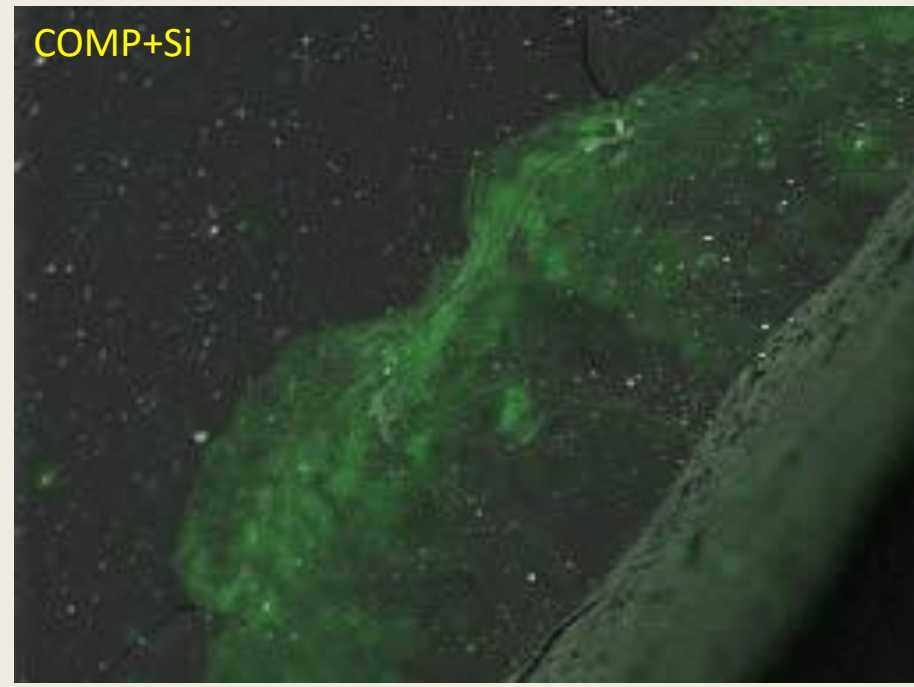


Location	C	O	Na	Mg	Al	Si	P	S	Cl	K	Ca	Ti	Fe
1	64,1	18,0	0,2	0,2	2,7	12,8	0,2	0,1	0,1	0,7	0,7	0,3	0,0
2	9,5	41,8	5,5	0,1	9,9	28,7	0,1	0,1	0,1	2,7	0,3	0,3	1,0
3	7,9	42,2	0,0	5,6	11,3	20,2	0,0	0,2	0,1	0,5	0,8	0,3	11,1
4	9,2	39,6	0,5	0,3	20,5	23,7	0,1	0,3	0,0	3,6	0,4	0,2	1,7
5	6,7	46,8	0,1	0,1	0,6	44,8	0,0	0,3	0,2	0,1	0,2	0,0	0,2
6	0,0	41,3	0,7	1,3	3,1	27,6	18,6	0,0	1,8	2,6	3,0	0,0	0,0
7	12,6	38,8	0,4	0,1	9,5	29,3	0,0	0,1	0,0	7,7	0,0	0,3	1,3
8	3,6	44,3	0,5	0,9	12,0	20,4	0,2	0,4	0,6	1,7	14,2	1,2	0,0
9	3,0	41,0	0,2	0,6	8,1	14,1	0,0	0,1	0,0	1,5	0,4	25,8	5,2
10	6,7	41,5	0,1	3,9	13,1	16,5	0,3	0,2	0,0	1,4	0,8	1,2	14,4

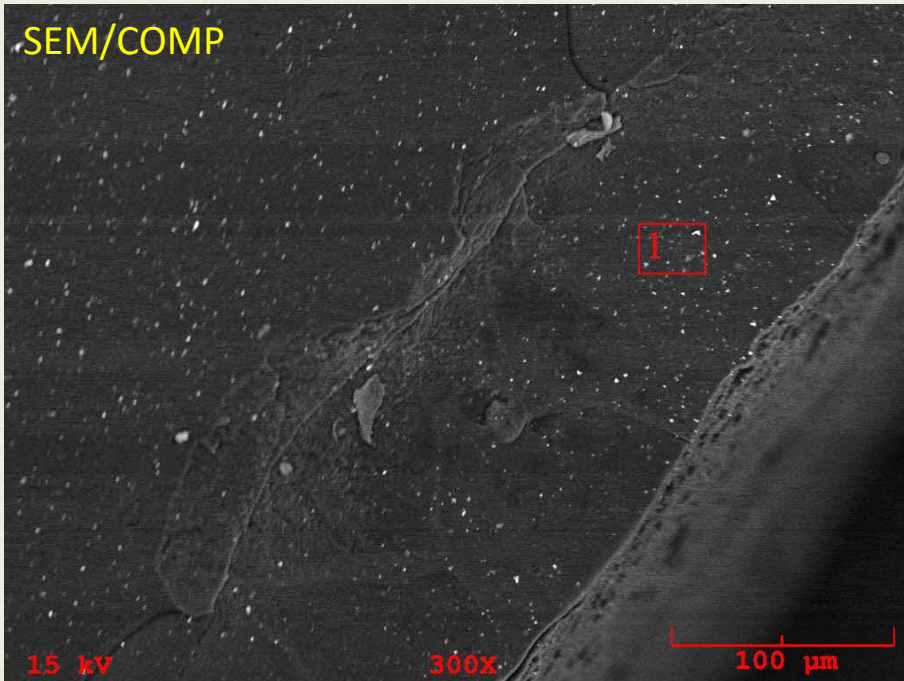
SEM/SEI



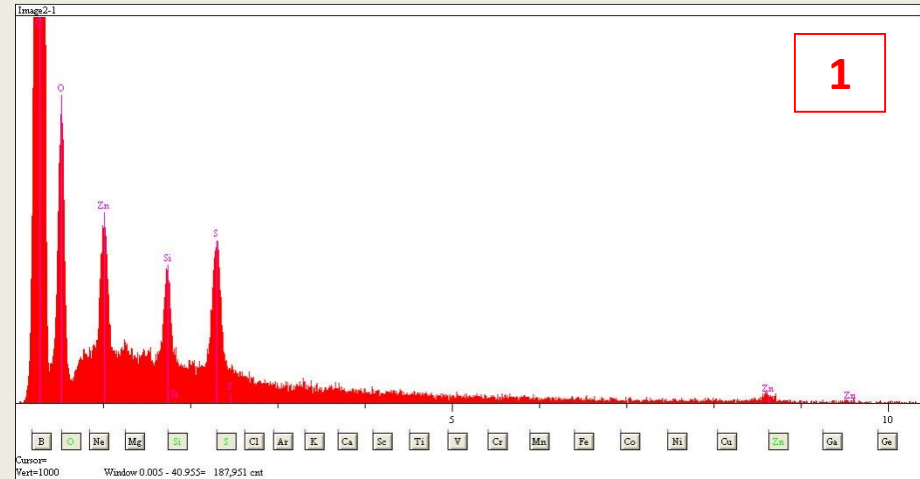
COMP+Si



SEM/COMP



SEM Kompozisyon görüntüsü ile yeşil renkli Si dağılımının üst üste getirilmesi.
Örnek: Kauçuk karışımı içinde yabancı madde



Kocaeli University
Engineering Faculty
Department of Metallurgical and Materials Science Engineering
Umuttepe Campus, TR-41380 Kocaeli, Turkey
Tel: +90-262-303 3056 Fax: +90-262-303 3003
E-Mail: metalurji@kocaeli.edu.tr
Web: metalurji.kocaeli.edu.tr

THANKS



